

# Intégrabilité quantique de certaines chaînes de spins et théories de champs conformes

- 1 Systèmes quantiques
- 2 Intégrabilité des chaînes de spins  $XXX$
- 3 Perspectives

# Outline

- 1 Systèmes quantiques
  - Ondes ↔ particules
  - Équation de Schrödinger
  - Chaîne de Spins
- 2 Intégrabilité des chaînes de spins XXX
  - “Coordinate Bethe Ansatz”
  - “Wronskian Bethe Ansatz”
  - Completeness
- 3 Perspectives
  - Intégrabilité
  - Équations fonctionnelles
  - Observables physiques

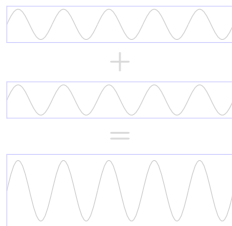
# Fentes de Young : caractère ondulatoire de la lumière

écran

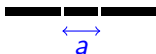
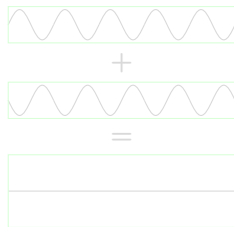


L'écran présente une alternance de franges sombres et de franges éclairées.

- Angle multiple de  $\lambda/a$  : ondes en phase

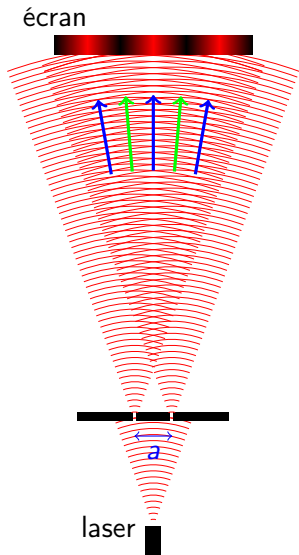


- Angle  $\frac{2k+1}{2} \frac{\lambda}{a}$  : opposition de phase



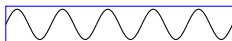
laser

## Fentes de Young : caractère ondulatoire de la lumière

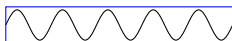


L'écran présente une alternance de franges sombres et de franges éclairées.

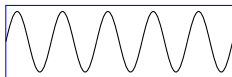
- Angle multiple de  $\lambda/a$  : ondes en phase



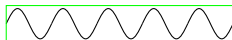
+



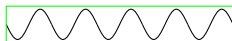
=



- Angle  $\frac{2k+1}{2} \frac{\lambda}{a}$  : opposition de phase



+



=



# Ondes / particules

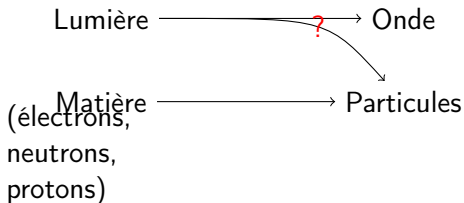
Lumière —————→ Onde

Matière —————→ Particules  
(électrons,  
neutrons,  
protons)

- Étude du rayonnement de corps noir (phénomène qui fait fonctionner les ampoules à incandescence)  
↪ quantité élémentaire d'énergie lumineuse.
  - Particule lumineuse : "photon"
  - Physique "quantique"
- Fentes de Young avec des électrons, des neutrons, ou de petits atomes :



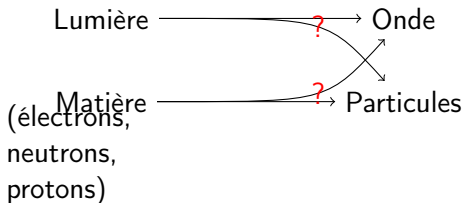
# Ondes / particules



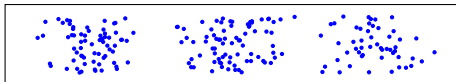
- Étude du rayonnement de corps noir (phénomène qui fait fonctionner les ampoules à incandescence)  
↪ quantité élémentaire d'énergie lumineuse.
  - Particule lumineuse : "photon"
  - Physique "quantique"
- Fentes de Young avec des électrons, des neutrons, ou de petits atomes :



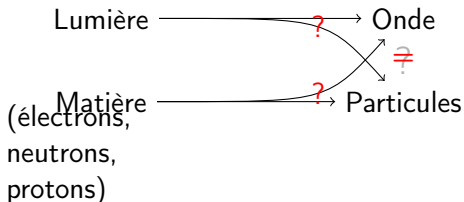
# Ondes / particules



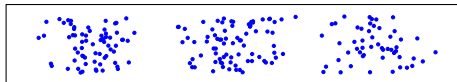
- Étude du rayonnement de corps noir (phénomène qui fait fonctionner les ampoules à incandescence)  
↪ quantité élémentaire d'énergie lumineuse.
  - Particule lumineuse : "photon"
  - Physique "quantique"
- Fentes de Young avec des électrons, des neutrons, ou de petits atomes :



# Dualité onde-particule

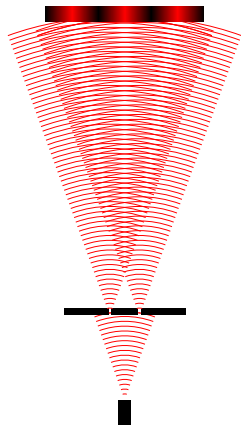


- Étude du rayonnement de corps noir (phénomène qui fait fonctionner les ampoules à incandescence)  
↪ quantité élémentaire d'énergie lumineuse.
  - Particule lumineuse : "photon"
  - Physique "quantique"
- Fentes de Young avec des électrons, des neutrons, ou de petits atomes :

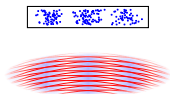


# Probabilités et fonction d'onde

## Onde



## Particule quantique



Densité de probabilité

$$\rho(\vec{x}) = |\psi(\vec{x})|^2$$

où  $\psi(\vec{x})$  est la **fonction d'onde**

# Systèmes quantiques

Description d'un système quantique :

- **États** : éléments d'un espace de Hilbert  $\mathcal{H}$ .  
 $\mathbb{C}$ -ev + produit scalaire + complétude

**Notation** :  $|\psi\rangle \in \mathcal{H}$

- **Observables** : opérateurs hermitiens sur  $\mathcal{H}$ .  
Dans un état  $|\psi\rangle$ , une observable  $A$  vaut en moyenne  $\frac{\langle\psi|A|\psi\rangle}{\|\psi\|^2}$ .

Exemple : "fonction d'onde" comme dans les "fentes de Young"

- "fonction d'onde"  $\psi \in L^2(\mathbb{R}^n, \mathbb{C})$
- densité de probabilité  $\rho(x) = |\psi(x)|^2$
- probabilité d'être dans  $E \subset \mathbb{R}^n$        $\mathbb{E}[\mathbb{1}_E] = \frac{\int \overline{\psi(x)} \mathbb{1}_E(x) \psi(x) dx}{\|\psi\|_{L^2}^2}$

## Systèmes quantiques

## Équation de Schrödinger

Description d'un système quantique :

- **États** : éléments d'un espace de Hilbert  $\mathcal{H}$ .  
 $\mathbb{C}$ -ev + produit scalaire + complétude

**Notation** :  $|\psi\rangle \in \mathcal{H}$

- **Observables** : opérateurs hermitiens sur  $\mathcal{H}$ .  
Dans un état  $|\psi\rangle$ , une observable  $A$  vaut en moyenne  $\frac{\langle\psi|A|\psi\rangle}{\|\psi\|^2}$ .

Exemple : "fonction d'onde" comme dans les "fentes de Young"

- "fonction d'onde"  $\psi \in L^2(\mathbb{R}^n, \mathbb{C})$
- densité de probabilité  $\rho(x) = |\psi(x)|^2$
- probabilité d'être dans  $E \subset \mathbb{R}^n$   $\mathbb{E}[\mathbb{1}_E] = \frac{\int \overline{\psi(x)} \mathbb{1}_E(x) \psi(x) dx}{\|\psi\|_{L^2}^2}$

## Systèmes quantiques

## Équation de Schrödinger

Description d'un système quantique :

- **États** : éléments d'un espace de Hilbert  $\mathcal{H}$ .  
 $\mathbb{C}$ -ev + produit scalaire + complétude

**Notation** :  $|\psi\rangle \in \mathcal{H}$

- **Observables** : opérateurs hermitiens sur  $\mathcal{H}$ .  
Dans un état  $|\psi\rangle$ , une observable  $A$  vaut en moyenne  $\frac{\langle\psi|A|\psi\rangle}{\|\psi\|^2}$ .

**Exemple** : “fonction d'onde” comme dans les “fentes de Young”

- “fonction d'onde”  $\psi \in L^2(\mathbb{R}^n, \mathbb{C})$
- densité de probabilité  $\rho(x) = |\psi(x)|^2$
- probabilité d'être dans  $E \subset \mathbb{R}^n$   $\mathbb{E}[1_E] = \frac{\int \overline{\psi(x)} 1_E(x) \psi(x) dx}{\|\psi\|_{L^2}^2}$

## Systèmes quantiques

## Équation de Schrödinger

Description d'un système quantique :

- **États** : éléments d'un espace de Hilbert  $\mathcal{H}$ .  
 $\mathbb{C}$ -ev + produit scalaire + complétude

**Notation** :  $|\psi\rangle \in \mathcal{H}$

- **Observables** : opérateurs hermitiens sur  $\mathcal{H}$ .  
 Dans un état  $|\psi\rangle$ , une observable  $A$  vaut en moyenne  $\frac{\langle\psi|A|\psi\rangle}{\|\psi\|^2}$ .

Exemple : “fonction d'onde” comme dans les “fentes de Young”

- “fonction d'onde”  $\psi \in L^2(\mathbb{R}^n, \mathbb{C})$
- densité de probabilité  $\rho(x) = \frac{|\psi(x)|^2}{\int |\psi(x)|^2}$
- probabilité d'être dans  $E \subset \mathbb{R}^n$        $\mathbb{E}[\mathbb{1}_E] = \frac{\int \overline{\psi(x)} \mathbb{1}_E(x) \psi(x) dx}{\|\psi\|_{L^2}^2}$

## Systèmes quantiques

## Équation de Schrödinger

Description d'un système quantique :

- **États** : éléments d'un espace de Hilbert  $\mathcal{H}$ .  
 $\mathbb{C}$ -ev + produit scalaire + complétude

Notation :  $|\psi\rangle \in \mathcal{H}$

- **Observables** : opérateurs hermitiens sur  $\mathcal{H}$ .  
Dans un état  $|\psi\rangle$ , une observable  $A$  vaut en moyenne  $\frac{\langle\psi|A|\psi\rangle}{\|\psi\|^2}$ .

Exemple : “fonction d'onde” comme dans les “fentes de Young”

- “fonction d'onde”  $\psi \in L^2(\mathbb{R}^n, \mathbb{C})$
- densité de probabilité  $\rho(x) = \frac{|\psi(x)|^2}{\int |\psi(x)|^2}$
- probabilité d'être dans  $E \subset \mathbb{R}^n$        $\mathbb{E}[\mathbb{1}_E] = \frac{\int \overline{\psi(x)} \mathbb{1}_E(x) \psi(x) dx}{\|\psi\|_{L^2}^2}$

## Systèmes quantiques

## Équation de Schrödinger

Description d'un système quantique :

- **États** : éléments d'un espace de Hilbert  $\mathcal{H}$ .  
 $\mathbb{C}$ -ev + produit scalaire + complétude

Notation :  $|\psi\rangle \in \mathcal{H}$

- **Observables** : opérateurs hermitiens sur  $\mathcal{H}$ .  
Dans un état  $|\psi\rangle$ , une observable  $A$  vaut en moyenne  $\frac{\langle\psi|A|\psi\rangle}{\|\psi\|^2}$ .

- **Évolution** :  $i\frac{\partial}{\partial t}|\psi\rangle = H|\psi\rangle$ ,  
où le *Hamiltonien*  $H$  est un opérateur Hermitien sur  $\mathcal{H}$ .

$$\rightsquigarrow \frac{\partial}{\partial t}\|\psi\| = 0$$

## Systèmes quantiques

## Équation de Schrödinger

Description d'un système quantique :

- **États** : éléments de  $\mathcal{H} / \sim$  où  $\mathcal{H}$  est un espace de Hilbert et  $\sim$  est la colinéarité.

Notation :  $|\psi\rangle \in \mathcal{H}$

- **Observables** : opérateurs hermitiens sur  $\mathcal{H}$ .

Dans un état  $|\psi\rangle$ , une observable  $A$  vaut en moyenne  $\frac{\langle \psi | A | \psi \rangle}{\|\psi\|^2}$ .

- **Évolution** :  $i \frac{\partial}{\partial t} |\psi\rangle = H |\psi\rangle$ ,

où le *Hamiltonien*  $H$  est un opérateur Hermitien sur  $\mathcal{H}$ .

$$\rightsquigarrow \frac{\partial}{\partial t} \|\psi\| = 0$$

## Systèmes quantiques

## Équation de Schrödinger

Description d'un système quantique :

- **États** : éléments de  $\mathcal{H}/\sim$  où  $\mathcal{H}$  est un espace de Hilbert et  $\sim$  est la colinéarité.

**Notation** :  $|\psi\rangle \in \mathcal{H}$

- **Observables** : opérateurs hermitiens sur  $\mathcal{H}$ .

Dans un état  $|\psi\rangle$ , une observable  $A$  vaut en moyenne  $\frac{\langle\psi|A|\psi\rangle}{\|\psi\|^2}$ .

- **Évolution** :  $i\frac{\partial}{\partial t}|\psi\rangle = H|\psi\rangle$ ,

où le *Hamiltonien*  $H$  est un opérateur Hermitien sur  $\mathcal{H}$ .

$$\rightsquigarrow \frac{\partial}{\partial t}\|\psi\| = 0$$

On s'intéressera ici à diagonaliser le Hamiltonien  $H$  :

Ses valeurs propres sont les *énergies des états propres* du système

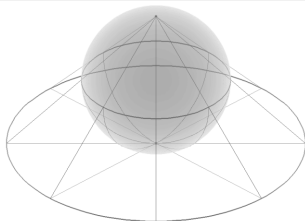
# Spin Quantique

## Spin : objet quantique pointant dans une direction

“Directions” : éléments de  $\mathcal{S}_2 = \mathbb{P}_1(\mathbb{C}) = \mathbb{C}^2 / \sim$

- On note  $|\uparrow\rangle = \begin{pmatrix} 1 \\ 0 \end{pmatrix} \in \mathbb{C}^2$  et  $|\downarrow\rangle = \begin{pmatrix} 0 \\ 1 \end{pmatrix} \in \mathbb{C}^2$ .

Direction arbitraire :  $|\psi\rangle = \alpha |\uparrow\rangle + \beta |\downarrow\rangle$



## Chaîne de spins : succession de $L$ sites avec chacun un spin

Espace de Hilbert  $(\mathbb{C}^2)^{\otimes L}$  ( $\dim \mathcal{H} = 2^L$ ).

Exemple : si  $L = 3$ , c'est



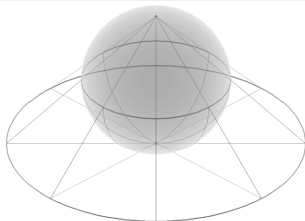
# Spin Quantique

## Spin : objet quantique pointant dans une direction

“Directions” : éléments de  $\mathcal{S}_2 = \mathbb{P}_1(\mathbb{C}) = \mathbb{C}^2 / \sim$

- On note  $|\uparrow\rangle = \begin{pmatrix} 1 \\ 0 \end{pmatrix} \in \mathbb{C}^2$  et  $|\downarrow\rangle = \begin{pmatrix} 0 \\ 1 \end{pmatrix} \in \mathbb{C}^2$ .

Direction arbitraire :  $|\psi\rangle = \alpha |\uparrow\rangle + \beta |\downarrow\rangle$



Chaîne de spins : succession de  $L$  sites avec chacun un spin

Espace de Hilbert  $(\mathbb{C}^2)^{\otimes L}$  ( $\dim \mathcal{H} = 2^L$ ).

Exemple : si  $L = 3$ , c'est



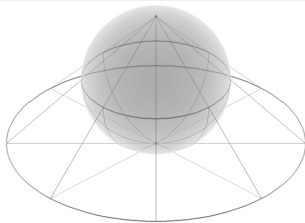
# Spin Quantique

## Spin : objet quantique pointant dans une direction

“Directions” : éléments de  $\mathcal{S}_2 = \mathbb{P}_1(\mathbb{C}) = \mathbb{C}^2 / \sim$

- On note  $|\uparrow\rangle = \begin{pmatrix} 1 \\ 0 \end{pmatrix} \in \mathbb{C}^2$  et  $|\downarrow\rangle = \begin{pmatrix} 0 \\ 1 \end{pmatrix} \in \mathbb{C}^2$ .

Direction arbitraire :  $|\psi\rangle = \alpha |\uparrow\rangle + \beta |\downarrow\rangle$



Chaîne de spins : succession de  $L$  sites avec chacun un spin

Espace de Hilbert  $(\mathbb{C}^2)^{\otimes L}$  ( $\dim \mathcal{H} = 2^L$ ).

Exemple : si  $L = 3$ , c'est



## Chaîne de spins

## Spin : objet quantique pointant dans une direction

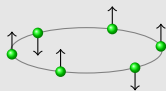
“Directions” : éléments de  $\mathcal{S}_2 = \mathbb{P}_1(\mathbb{C}) = \mathbb{C}^2 / \sim$

- On note  $|\uparrow\rangle = \begin{pmatrix} 1 \\ 0 \end{pmatrix} \in \mathbb{C}^2$  et  $|\downarrow\rangle = \begin{pmatrix} 0 \\ 1 \end{pmatrix} \in \mathbb{C}^2$ .

Direction arbitraire :  $|\psi\rangle = \alpha |\uparrow\rangle + \beta |\downarrow\rangle$

Chaîne de spins : succession de  $L$  sites avec chacun un spin

Espace de Hilbert  $(\mathbb{C}^2)^{\otimes L}$  ( $\dim \mathcal{H} = 2^L$ ).



Exemple : si  $L = 3$ , c'est

$\text{Vect}(|\uparrow\uparrow\uparrow\rangle, |\uparrow\uparrow\downarrow\rangle, |\uparrow\downarrow\uparrow\rangle, |\uparrow\downarrow\downarrow\rangle, |\downarrow\uparrow\uparrow\rangle, |\downarrow\uparrow\downarrow\rangle, |\downarrow\downarrow\uparrow\rangle, |\downarrow\downarrow\downarrow\rangle)$ .

Chaîne de spins “XXX” : Hamiltonien  $H = -L - \sum_{i=1}^L \vec{\sigma}_i \cdot \vec{\sigma}_{i+1}$

où  $\vec{\sigma}_i \cdot \vec{\sigma}_{i+1} \equiv \sum_{k=1}^3 \sigma_i^{(k)} \sigma_{i+1}^{(k)}$ ;  $\sigma_i^{(k)}$  est  $\sigma^{(k)}$  agissant sur le  $i^{\text{ème}}$

spin, et  $\sigma^{(1)} = \begin{pmatrix} 0 & 1 \\ 1 & 0 \end{pmatrix}$ ,  $\sigma^{(2)} = \begin{pmatrix} 0 & -i \\ i & 0 \end{pmatrix}$ ,  $\sigma^{(3)} = \begin{pmatrix} 1 & 0 \\ 0 & -1 \end{pmatrix}$ .

Périodicité : On identifie  $\sigma_{L+1} = \sigma_1$ .

## Chaîne de spins

## Spin : objet quantique pointant dans une direction

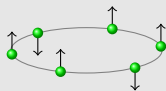
“Directions” : éléments de  $\mathcal{S}_2 = \mathbb{P}_1(\mathbb{C}) = \mathbb{C}^2 / \sim$

- On note  $|\uparrow\rangle = \begin{pmatrix} 1 \\ 0 \end{pmatrix} \in \mathbb{C}^2$  et  $|\downarrow\rangle = \begin{pmatrix} 0 \\ 1 \end{pmatrix} \in \mathbb{C}^2$ .

Direction arbitraire :  $|\psi\rangle = \alpha |\uparrow\rangle + \beta |\downarrow\rangle$

Chaîne de spins : succession de  $L$  sites avec chacun un spin

Espace de Hilbert  $(\mathbb{C}^2)^{\otimes L}$  ( $\dim \mathcal{H} = 2^L$ ).



Exemple : si  $L = 3$ , c'est

$\text{Vect}(|\uparrow\uparrow\uparrow\rangle, |\uparrow\uparrow\downarrow\rangle, |\uparrow\downarrow\uparrow\rangle, |\uparrow\downarrow\downarrow\rangle, |\downarrow\uparrow\uparrow\rangle, |\downarrow\uparrow\downarrow\rangle, |\downarrow\downarrow\uparrow\rangle, |\downarrow\downarrow\downarrow\rangle)$ .

**Chaîne de spins “XXX”** : Hamiltonien  $H = -L - \sum_{i=1}^L \vec{\sigma}_i \cdot \vec{\sigma}_{i+1}$

où  $\vec{\sigma}_i \cdot \vec{\sigma}_{i+1} \equiv \sum_{k=1}^3 \sigma_i^{(k)} \sigma_{i+1}^{(k)}$ ;  $\sigma_i^{(k)}$  est  $\sigma^{(k)}$  agissant sur le  $i^{\text{ème}}$  spin, et  $\sigma^{(1)} = \begin{pmatrix} 0 & 1 \\ 1 & 0 \end{pmatrix}$ ,  $\sigma^{(2)} = \begin{pmatrix} 0 & -i \\ i & 0 \end{pmatrix}$ ,  $\sigma^{(3)} = \begin{pmatrix} 1 & 0 \\ 0 & -1 \end{pmatrix}$ .

Périodicité : On identifie  $\sigma_{L+1} = \sigma_1$ .

## Chaîne de spins

## Spin : objet quantique pointant dans une direction

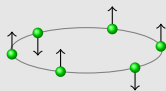
“Directions” : éléments de  $\mathcal{S}_2 = \mathbb{P}_1(\mathbb{C}) = \mathbb{C}^2 / \sim$

- On note  $|\uparrow\rangle = \begin{pmatrix} 1 \\ 0 \end{pmatrix} \in \mathbb{C}^2$  et  $|\downarrow\rangle = \begin{pmatrix} 0 \\ 1 \end{pmatrix} \in \mathbb{C}^2$ .

Direction arbitraire :  $|\psi\rangle = \alpha |\uparrow\rangle + \beta |\downarrow\rangle$

Chaîne de spins : succession de  $L$  sites avec chacun un spin

Espace de Hilbert  $(\mathbb{C}^2)^{\otimes L}$  ( $\dim \mathcal{H} = 2^L$ ).



Exemple : si  $L = 3$ , c'est

$\text{Vect}(|\uparrow\uparrow\uparrow\rangle, |\uparrow\uparrow\downarrow\rangle, |\uparrow\downarrow\uparrow\rangle, |\uparrow\downarrow\downarrow\rangle, |\downarrow\uparrow\uparrow\rangle, |\downarrow\uparrow\downarrow\rangle, |\downarrow\downarrow\uparrow\rangle, |\downarrow\downarrow\downarrow\rangle)$ .

**Chaîne de spins “XXX”** : Hamiltonien  $H = -L - \sum_{i=1}^L \vec{\sigma}_i \cdot \vec{\sigma}_{i+1}$

où  $\vec{\sigma}_i \cdot \vec{\sigma}_{i+1} \equiv \sum_{k=1}^3 \sigma_i^{(k)} \sigma_{i+1}^{(k)}$ ;  $\sigma_i^{(k)}$  est  $\sigma^{(k)}$  agissant sur le  $i^{\text{ème}}$  spin, et  $\sigma^{(1)} = \begin{pmatrix} 0 & 1 \\ 1 & 0 \end{pmatrix}$ ,  $\sigma^{(2)} = \begin{pmatrix} 0 & -i \\ i & 0 \end{pmatrix}$ ,  $\sigma^{(3)} = \begin{pmatrix} 1 & 0 \\ 0 & -1 \end{pmatrix}$ .

**Périodicité** : On identifie  $\sigma_{L+1} = \sigma_1$ .

# Outline

- 1 Systèmes quantiques
  - Ondes ↔ particules
  - Équation de Schrödinger
  - Chaîne de Spins
- 2 Intégrabilité des chaînes de spins  $XXX$ 
  - “Coordinate Bethe Ansatz”
  - “Wronskian Bethe Ansatz”
  - Complectude
- 3 Perspectives
  - Intégrabilité
  - Équations fonctionnelles
  - Observables physiques

Vecteurs propres de  $H$ 

pour la chaîne XXX

**Notation** :  $\mathcal{P}_{1,2} |\uparrow\downarrow\downarrow\dots\rangle = |\uparrow\downarrow\downarrow\dots\rangle$  et  $\mathcal{P}_{1,2} |\downarrow\downarrow\uparrow\dots\rangle = |\downarrow\downarrow\uparrow\dots\rangle$

$H = -2 \sum_{i=1}^L \mathcal{P}_{i,i+1}$  a pour états propres :

- “vide” :  $|\downarrow\downarrow\dots\downarrow\rangle$  (valeur propre :  $-2L$ ).
- états à une “excitation” : combinaisons de  $|\{k\}\rangle = \underbrace{|\downarrow\downarrow\dots\downarrow\rangle}_{k-1} \uparrow \underbrace{|\downarrow\dots\downarrow\rangle}_{L-k}$

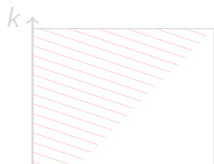
$$|\psi\rangle = \sum_k \Psi(k) |\{k\}\rangle$$

$$\Rightarrow H|\psi\rangle = -2 \sum_k (\Psi(k+1) + \Psi(k-1) + (L-2)\Psi(k)) |\{k\}\rangle.$$

états propres  $|\psi\rangle \propto \sum_k e^{ikp} |\{k\}\rangle$  où  $e^{2ipL} = 1$

- combinaisons de  $|\{j, k\}\rangle = \underbrace{|\downarrow\downarrow\dots\downarrow\rangle}_{j-1} \uparrow \underbrace{|\downarrow\dots\downarrow\rangle}_{k-j-1} \uparrow \underbrace{|\downarrow\dots\downarrow\rangle}_{L-j-k}$

$$|\psi\rangle = \sum_{j,k} \Psi(j, k) |\{j, k\}\rangle$$



$$|\psi\rangle \propto \sum_{j < k} (e^{i(p_1 j + p_2 k)} + S e^{i(p_1 k + p_2 j)}) |\{j, k\}\rangle$$

$$\text{avec } e^{iLp_2} = S = e^{-iLp_1}$$

Vecteurs propres de  $H$ 

pour la chaîne XXX

**Notation** :  $\mathcal{P}_{1,2} |\uparrow\downarrow\downarrow\dots\rangle = |\uparrow\downarrow\downarrow\dots\rangle$  et  $\mathcal{P}_{1,2} |\downarrow\downarrow\uparrow\dots\rangle = |\downarrow\downarrow\uparrow\dots\rangle$

$H = -2 \sum_{i=1}^L \mathcal{P}_{i,i+1}$  a pour états propres :

- “vide” :  $|\downarrow\downarrow\dots\downarrow\rangle$  (valeur propre :  $-2L$ ).
- états à une “excitation” : combinaisons de  $|\{k\}\rangle = \underbrace{|\downarrow\downarrow\dots\downarrow\rangle}_{k-1} \uparrow \underbrace{|\downarrow\dots\downarrow\rangle}_{L-k}$

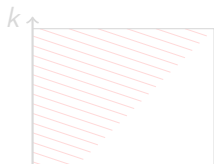
$$|\psi\rangle = \sum_k \Psi(k) |\{k\}\rangle$$

$$\Rightarrow H|\psi\rangle = -2 \sum_k (\Psi(k+1) + \Psi(k-1) + (L-2)\Psi(k)) |\{k\}\rangle.$$

états propres  $|\psi\rangle \propto \sum_k e^{ikp} |\{k\}\rangle$  où  $e^{2ipL} = 1$

- combinaisons de  $|\{j, k\}\rangle = \underbrace{|\downarrow\downarrow\dots\downarrow\rangle}_{j-1} \uparrow \underbrace{|\downarrow\dots\downarrow\rangle}_{k-j-1} \uparrow \underbrace{|\downarrow\dots\downarrow\rangle}_{L-j-k}$

$$|\psi\rangle = \sum_{j,k} \Psi(j, k) |\{j, k\}\rangle$$



$$|\psi\rangle \propto \sum_{j < k} (e^{i(p_1 j + p_2 k)} + S e^{i(p_1 k + p_2 j)}) |\{j, k\}\rangle$$

$$\text{avec } e^{iLp_2} = S = e^{-iLp_1}$$

Vecteurs propres de  $H$ 

pour la chaîne XXX

**Notation** :  $\mathcal{P}_{1,2} |\uparrow\downarrow\downarrow\dots\rangle = |\uparrow\downarrow\downarrow\dots\rangle$  et  $\mathcal{P}_{1,2} |\downarrow\downarrow\uparrow\dots\rangle = |\downarrow\downarrow\uparrow\dots\rangle$

$H = -2 \sum_{i=1}^L \mathcal{P}_{i,i+1}$  a pour états propres :

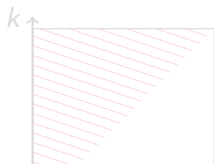
- “vide” :  $|\downarrow\downarrow\dots\downarrow\rangle$  (valeur propre :  $-2L$ ).
- états à une “excitation” : combinaisons de  $|\{k\}\rangle = \underbrace{|\downarrow\downarrow\dots\downarrow\rangle}_{k-1} \uparrow \underbrace{|\downarrow\dots\downarrow\rangle}_{L-k}$

$$|\psi\rangle = \sum_k \Psi(k) |\{k\}\rangle$$

$$\Rightarrow H|\psi\rangle = -2 \sum_k (\Psi(k+1) + \Psi(k-1) + (L-2)\Psi(k)) |\{k\}\rangle.$$

états propres  $|\psi\rangle \propto \sum_k e^{ikp} |\{k\}\rangle$  où  $e^{2ipL} = 1$

- combinaisons de  $|\{j, k\}\rangle = \underbrace{|\downarrow\downarrow\dots\downarrow\rangle}_{j-1} \uparrow \underbrace{|\downarrow\dots\downarrow\rangle}_{k-j-1} \uparrow \underbrace{|\downarrow\dots\downarrow\rangle}_{L-j-k}$
- $$|\psi\rangle = \sum_{j,k} \Psi(j, k) |\{j, k\}\rangle$$



$$|\psi\rangle \propto \sum_{j < k} (e^{i(p_1 j + p_2 k)} + S e^{i(p_1 k + p_2 j)}) |\{j, k\}\rangle$$

$$\text{avec } e^{iLp_2} = S = e^{-iLp_1}$$

Vecteurs propres de  $H$ 

pour la chaîne XXX

**Notation** :  $\mathcal{P}_{1,2} |\uparrow\downarrow\downarrow\dots\rangle = |\uparrow\downarrow\downarrow\dots\rangle$  et  $\mathcal{P}_{1,2} |\downarrow\downarrow\uparrow\dots\rangle = |\downarrow\downarrow\uparrow\dots\rangle$

$H = -2 \sum_{i=1}^L \mathcal{P}_{i,i+1}$  a pour états propres :

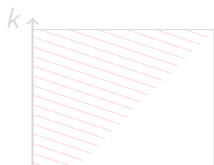
- “vide” :  $|\downarrow\downarrow\dots\downarrow\rangle$  (valeur propre :  $-2L$ ).
- états à une “excitation” : combinaisons de  $|\{k\}\rangle = \underbrace{|\downarrow\downarrow\dots\downarrow\rangle}_{k-1} \uparrow \underbrace{|\downarrow\dots\downarrow\rangle}_{L-k}$

$$|\psi\rangle = \sum_k \Psi(k) |\{k\}\rangle$$

$$\Rightarrow H|\psi\rangle = -2 \sum_k (\Psi(k+1) + \Psi(k-1) + (L-2)\Psi(k)) |\{k\}\rangle.$$

états propres  $|\psi\rangle \propto \sum_k e^{ikp} |\{k\}\rangle$  où  $e^{2ipL} = 1$

- combinaisons de  $|\{j, k\}\rangle = \underbrace{|\downarrow\downarrow\dots\downarrow\rangle}_{j-1} \uparrow \underbrace{|\downarrow\dots\downarrow\rangle}_{k-j-1} \uparrow \underbrace{|\downarrow\dots\downarrow\rangle}_{L-j-k}$
- $$|\psi\rangle = \sum_{j,k} \Psi(j, k) |\{j, k\}\rangle$$



$$|\psi\rangle \propto \sum_{j < k} (e^{i(p_1 j + p_2 k)} + S e^{i(p_1 k + p_2 j)}) |\{j, k\}\rangle$$

$$\text{avec } e^{iL p_2} = S = e^{-iL p_1}$$

Vecteurs propres de  $H$ 

pour la chaîne XXX

**Notation** :  $\mathcal{P}_{1,2} |\uparrow\downarrow\downarrow\dots\rangle = |\uparrow\downarrow\downarrow\dots\rangle$  et  $\mathcal{P}_{1,2} |\downarrow\downarrow\uparrow\dots\rangle = |\downarrow\downarrow\uparrow\dots\rangle$

$H = -2 \sum_{i=1}^L \mathcal{P}_{i,i+1}$  a pour états propres :

- “vide” :  $|\downarrow\downarrow\dots\downarrow\rangle$  (valeur propre :  $-2L$ ).
- états à une “excitation” : combinaisons de  $|\{k\}\rangle = \underbrace{|\downarrow\downarrow\dots\downarrow\rangle}_{k-1} \uparrow \underbrace{|\downarrow\dots\downarrow\rangle}_{L-k}$

$$|\psi\rangle = \sum_k \Psi(k) |\{k\}\rangle$$

$$\Rightarrow H|\psi\rangle = -2 \sum_k (\Psi(k+1) + \Psi(k-1) + (L-2)\Psi(k)) |\{k\}\rangle.$$

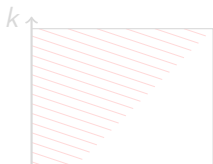
états propres  $|\psi\rangle \propto \sum_k e^{ikp} |\{k\}\rangle$  où  $e^{2ipL} = 1$

- combinaisons de  $|\{j, k\}\rangle = \underbrace{|\downarrow\downarrow\dots\downarrow\rangle}_{j-1} \uparrow \underbrace{|\downarrow\dots\downarrow\rangle}_{k-j-1} \uparrow \underbrace{|\downarrow\dots\downarrow\rangle}_{L-j-k}$

$$|\psi\rangle = \sum_{j,k} \Psi(j, k) |\{j, k\}\rangle$$

$$|\psi\rangle \propto \sum_{j < k} (e^{i(p_1 j + p_2 k)} + S e^{i(p_1 k + p_2 j)}) |\{j, k\}\rangle$$

$$\text{avec } e^{iLp_2} = S = e^{-iLp_1}$$



Vecteurs propres de  $H$ 

pour la chaîne XXX

**Notation** :  $\mathcal{P}_{1,2} |\uparrow\downarrow\downarrow\dots\rangle = |\uparrow\downarrow\downarrow\dots\rangle$  et  $\mathcal{P}_{1,2} |\downarrow\downarrow\uparrow\dots\rangle = |\downarrow\downarrow\uparrow\dots\rangle$

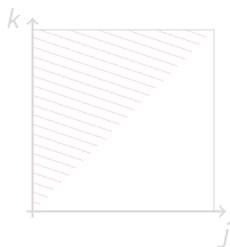
$H = -2 \sum_{i=1}^L \mathcal{P}_{i,i+1}$  a pour états propres :

- “vide” :  $|\downarrow\downarrow\dots\downarrow\rangle$  (valeur propre :  $-2L$ ).
- états à une “excitation” : combinaisons de  $|\{k\}\rangle = \underbrace{|\downarrow\downarrow\dots\downarrow\rangle}_{k-1} \uparrow \underbrace{|\downarrow\dots\downarrow\rangle}_{L-k}$

$$|\psi\rangle \propto \sum_k e^{i k p} |\{k\}\rangle \quad \text{où } e^{2i p L} = 1$$

- combinaisons de  $|\{j, k\}\rangle = \underbrace{|\downarrow\downarrow\dots\downarrow\rangle}_{j-1} \uparrow \underbrace{|\downarrow\dots\downarrow\rangle}_{k-j-1} \uparrow \underbrace{|\downarrow\dots\downarrow\rangle}_{L-j-k}$

$$|\psi\rangle = \sum_{j,k} \Psi(j, k) |\{j, k\}\rangle$$



$$|\psi\rangle \propto \sum_{j < k} (e^{i(p_1 j + p_2 k)} + S e^{i(p_1 k + p_2 j)}) |\{j, k\}\rangle$$

$$\text{avec } e^{i L p_2} = S = e^{-i L p_1}$$

$$\text{et } S = -\frac{1 + e^{i(p_1 + p_2)} - 2e^{i p_2}}{1 + e^{i(p_1 + p_2)} - 2e^{i p_1}}$$

Vecteurs propres de  $H$ 

pour la chaîne XXX

**Notation** :  $\mathcal{P}_{1,2} |\uparrow\downarrow\downarrow\dots\rangle = |\uparrow\downarrow\downarrow\dots\rangle$  et  $\mathcal{P}_{1,2} |\downarrow\downarrow\uparrow\dots\rangle = |\downarrow\downarrow\uparrow\dots\rangle$

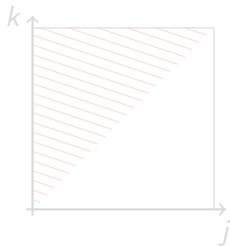
$H = -2 \sum_{i=1}^L \mathcal{P}_{i,i+1}$  a pour états propres :

- “vide” :  $|\downarrow\downarrow\dots\downarrow\rangle$  (valeur propre :  $-2L$ ).
- états à une “excitation” : combinaisons de  $|\{k\}\rangle = \underbrace{|\downarrow\downarrow\dots\downarrow\rangle}_{k-1} \uparrow \underbrace{|\downarrow\dots\downarrow\rangle}_{L-k}$

$$|\psi\rangle \propto \sum_k e^{i k p} |\{k\}\rangle \quad \text{où } e^{2i p L} = 1$$

- combinaisons de  $|\{j, k\}\rangle = \underbrace{|\downarrow\downarrow\dots\downarrow\rangle}_{j-1} \uparrow \underbrace{|\downarrow\dots\downarrow\rangle}_{k-j-1} \uparrow \underbrace{|\downarrow\dots\downarrow\rangle}_{L-j-k}$

$$|\psi\rangle = \sum_{j,k} \Psi(j, k) |\{j, k\}\rangle$$



$$|\psi\rangle \propto \sum_{j < k} (e^{i(p_1 j + p_2 k)} + S e^{i(p_1 k + p_2 j)}) |\{j, k\}\rangle$$

$$\text{avec } e^{i L p_2} = S = e^{-i L p_1}$$

$$\text{et } S = -\frac{1 + e^{i(p_1 + p_2)} - 2e^{i p_2}}{1 + e^{i(p_1 + p_2)} - 2e^{i p_1}}$$

Vecteurs propres de  $H$ 

pour la chaîne XXX

**Notation** :  $\mathcal{P}_{1,2} |\uparrow\downarrow\downarrow\dots\rangle = |\uparrow\downarrow\downarrow\dots\rangle$  et  $\mathcal{P}_{1,2} |\downarrow\downarrow\uparrow\dots\rangle = |\downarrow\downarrow\uparrow\dots\rangle$

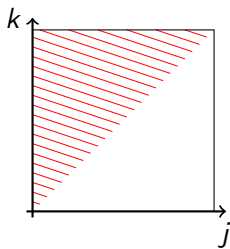
$H = -2 \sum_{i=1}^L \mathcal{P}_{i,i+1}$  a pour états propres :

- “vide” :  $|\downarrow\downarrow\dots\downarrow\rangle$  (valeur propre :  $-2L$ ).
- états à une “excitation” : combinaisons de  $|\{k\}\rangle = \underbrace{|\downarrow\downarrow\dots\downarrow\rangle}_{k-1} \uparrow \underbrace{|\downarrow\dots\downarrow\rangle}_{L-k}$

$$|\psi\rangle \propto \sum_k e^{i k p} |\{k\}\rangle \quad \text{où } e^{2i p L} = 1$$

- combinaisons de  $|\{j, k\}\rangle = \underbrace{|\downarrow\downarrow\dots\downarrow\rangle}_{j-1} \uparrow \underbrace{|\downarrow\dots\downarrow\rangle}_{k-j-1} \uparrow \underbrace{|\downarrow\dots\downarrow\rangle}_{L-j-k}$

$$|\psi\rangle = \sum_{j,k} \Psi(j, k) |\{j, k\}\rangle$$



$$|\psi\rangle \propto \sum_{j < k} (e^{i(p_1 j + p_2 k)} + S e^{i(p_1 k + p_2 j)}) |\{j, k\}\rangle$$

$$\text{avec } e^{i L p_2} = S = e^{-i L p_1}$$

$$\text{et } S = -\frac{1 + e^{i(p_1 + p_2)} - 2e^{i p_2}}{1 + e^{i(p_1 + p_2)} - 2e^{i p_1}}$$

Vecteurs propres de  $H$ 

pour la chaîne XXX

**Notation** :  $\mathcal{P}_{1,2} |\uparrow\downarrow\downarrow\dots\rangle = |\uparrow\downarrow\downarrow\dots\rangle$  et  $\mathcal{P}_{1,2} |\downarrow\downarrow\uparrow\dots\rangle = |\downarrow\downarrow\uparrow\dots\rangle$

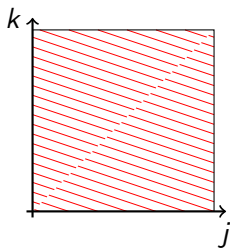
$H = -2 \sum_{i=1}^L \mathcal{P}_{i,i+1}$  a pour états propres :

- “vide” :  $|\downarrow\downarrow\dots\downarrow\rangle$  (valeur propre :  $-2L$ ).
- états à une “excitation” : combinaisons de  $|\{k\}\rangle = \underbrace{|\downarrow\downarrow\dots\downarrow\rangle}_{k-1} \uparrow \underbrace{|\downarrow\dots\downarrow\rangle}_{L-k}$

$$|\psi\rangle \propto \sum_k e^{i k p} |\{k\}\rangle \quad \text{où } e^{2i p L} = 1$$

- combinaisons de  $|\{j, k\}\rangle = \underbrace{|\downarrow\downarrow\dots\downarrow\rangle}_{j-1} \uparrow \underbrace{|\downarrow\dots\downarrow\rangle}_{k-j-1} \uparrow \underbrace{|\downarrow\dots\downarrow\rangle}_{L-j-k}$

$$|\psi\rangle = \sum_{j,k} \Psi(j, k) |\{j, k\}\rangle$$



$$|\psi\rangle \propto \sum_{j < k} (e^{i(p_1 j + p_2 k)} + S e^{i(p_1 k + p_2 j)}) |\{j, k\}\rangle$$

$$\text{avec } e^{i L p_2} = S = e^{-i L p_1}$$

$$\text{et } S = -\frac{1 + e^{i(p_1 + p_2)} - 2e^{i p_2}}{1 + e^{i(p_1 + p_2)} - 2e^{i p_1}}$$

Vecteurs propres de  $H$ 

pour la chaîne XXX

**Notation** :  $\mathcal{P}_{1,2} |\uparrow\downarrow\downarrow\dots\rangle = |\uparrow\downarrow\downarrow\dots\rangle$  et  $\mathcal{P}_{1,2} |\downarrow\downarrow\uparrow\dots\rangle = |\downarrow\downarrow\uparrow\dots\rangle$

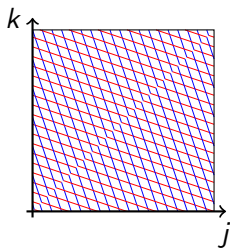
$H = -2 \sum_{i=1}^L \mathcal{P}_{i,i+1}$  a pour états propres :

- “vide” :  $|\downarrow\downarrow\dots\downarrow\rangle$  (valeur propre :  $-2L$ ).
- états à une “excitation” : combinaisons de  $|\{k\}\rangle = \underbrace{|\downarrow\downarrow\dots\downarrow\rangle}_{k-1} \uparrow \underbrace{|\downarrow\dots\downarrow\rangle}_{L-k}$

$$|\psi\rangle \propto \sum_k e^{i k p} |\{k\}\rangle \quad \text{où } e^{2i p L} = 1$$

- combinaisons de  $|\{j, k\}\rangle = \underbrace{|\downarrow\downarrow\dots\downarrow\rangle}_{j-1} \uparrow \underbrace{|\downarrow\dots\downarrow\rangle}_{k-j-1} \uparrow \underbrace{|\downarrow\dots\downarrow\rangle}_{L-j-k}$

$$|\psi\rangle = \sum_{j,k} \Psi(j, k) |\{j, k\}\rangle$$



$$|\psi\rangle \propto \sum_{j < k} (e^{i(p_1 j + p_2 k)} + S e^{i(p_1 k + p_2 j)}) |\{j, k\}\rangle$$

$$\text{avec } e^{i L p_2} = S = e^{-i L p_1}$$

$$\text{et } S = -\frac{1 + e^{i(p_1 + p_2)} - 2e^{i p_2}}{1 + e^{i(p_1 + p_2)} - 2e^{i p_1}}$$

Vecteurs propres de  $H$ 

pour la chaîne XXX

**Notation** :  $\mathcal{P}_{1,2} |\uparrow\downarrow\downarrow\dots\rangle = |\uparrow\downarrow\downarrow\dots\rangle$  et  $\mathcal{P}_{1,2} |\downarrow\downarrow\uparrow\dots\rangle = |\downarrow\downarrow\uparrow\dots\rangle$

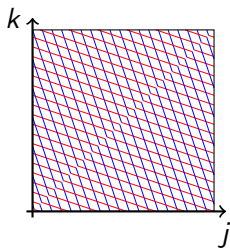
$H = -2 \sum_{i=1}^L \mathcal{P}_{i,i+1}$  a pour états propres :

- “vide” :  $|\downarrow\downarrow\dots\downarrow\rangle$  (valeur propre :  $-2L$ ).
- états à une “excitation” : combinaisons de  $|\{k\}\rangle = \underbrace{|\downarrow\downarrow\dots\downarrow\rangle}_{k-1} \uparrow \underbrace{|\downarrow\dots\downarrow\rangle}_{L-k}$

$$|\psi\rangle \propto \sum_k e^{i k p} |\{k\}\rangle \quad \text{où } e^{2i p L} = 1$$

- combinaisons de  $|\{j, k\}\rangle = \underbrace{|\downarrow\downarrow\dots\downarrow\rangle}_{j-1} \uparrow \underbrace{|\downarrow\dots\downarrow\rangle}_{k-j-1} \uparrow \underbrace{|\downarrow\dots\downarrow\rangle}_{L-j-k}$

$$|\psi\rangle = \sum_{j,k} \Psi(j, k) |\{j, k\}\rangle$$



$$|\psi\rangle \propto \sum_{j < k} (e^{i(p_1 j + p_2 k)} + S e^{i(p_1 k + p_2 j)}) |\{j, k\}\rangle$$

$$\text{avec } e^{i L p_2} = S = e^{-i L p_1}$$

$$\text{et } S = -\frac{1 + e^{i(p_1 + p_2)} - 2e^{i p_2}}{1 + e^{i(p_1 + p_2)} - 2e^{i p_1}}$$

Vecteurs propres de  $H$ 

pour la chaîne XXX

**Notation** :  $\mathcal{P}_{1,2} |\uparrow\downarrow\downarrow\dots\rangle = |\uparrow\downarrow\downarrow\dots\rangle$  et  $\mathcal{P}_{1,2} |\downarrow\downarrow\uparrow\dots\rangle = |\downarrow\downarrow\uparrow\dots\rangle$

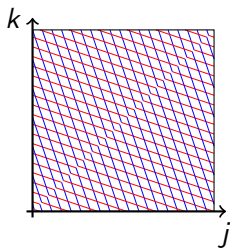
$H = -2 \sum_{i=1}^L \mathcal{P}_{i,i+1}$  a pour états propres :

- “vide” :  $|\downarrow\downarrow\dots\downarrow\rangle$  (valeur propre :  $-2L$ ).
- états à une “excitation” : combinaisons de  $|\{k\}\rangle = \underbrace{|\downarrow\downarrow\dots\downarrow\rangle}_{k-1} \uparrow \underbrace{|\downarrow\dots\downarrow\rangle}_{L-k}$

$$|\psi\rangle \propto \sum_k e^{i k p} |\{k\}\rangle \quad \text{où } e^{2i p L} = 1$$

- combinaisons de  $|\{j, k\}\rangle = \underbrace{|\downarrow\downarrow\dots\downarrow\rangle}_{j-1} \uparrow \underbrace{|\downarrow\dots\downarrow\rangle}_{k-j-1} \uparrow \underbrace{|\downarrow\dots\downarrow\rangle}_{L-j-k}$

$$|\psi\rangle = \sum_{j,k} \Psi(j, k) |\{j, k\}\rangle$$



$$|\psi\rangle \propto \sum_{j < k} (e^{i(p_1 j + p_2 k)} + S e^{i(p_1 k + p_2 j)}) |\{j, k\}\rangle$$

$$\text{avec } e^{i L p_2} = S = e^{-i L p_1}$$

$$\text{et } S = -\frac{1 + e^{i(p_1 + p_2)} - 2e^{i p_2}}{1 + e^{i(p_1 + p_2)} - 2e^{i p_1}}$$

Vecteurs propres de  $H$ 

pour la chaîne XXX

États à  $n$  "excitations"

$$|\Psi\rangle = \sum_{1 \leq j_1 < j_2 < \dots < j_n} \sum_{\sigma \in \mathfrak{S}_n} \mathcal{A}_\sigma e^{i \sum_k p_{\sigma(k)} j_k} \underbrace{|\downarrow\downarrow \dots \downarrow\rangle}_{j_1-1} \underbrace{|\downarrow\downarrow \dots \downarrow\rangle}_{j_2-j_1-1} \uparrow \downarrow \dots$$

C'est un vecteur propre si

- $\mathcal{A}_\sigma \propto (-1)^\sigma \prod_{j < k} \left( 1 + e^{i(p_{\sigma(j)} + p_{\sigma(k)})} - 2e^{ip_{\sigma(k)}} \right)$

## Équations de Bethe

- $\forall j, e^{iLp_j} = \prod_{k \neq j} S(p_j, p_k)$  où  $S(p, p') \equiv -\frac{1+e^{i(p+p')} - 2e^{ip}}{1+e^{i(p+p')} - 2e^{ip'}}$

Valeur propre :  $E = -2L + 4 \sum_k (1 - \cos p_k)$

Complétude : existence d'une base de vecteurs propres sous cette forme

Vecteurs propres de  $H$ 

pour la chaîne XXX

États à  $n$  "excitations"

$$|\Psi\rangle = \sum_{1 \leq j_1 < j_2 < \dots < j_n} \sum_{\sigma \in \mathbb{G}_n} \mathcal{A}_\sigma e^{i \sum_k p_{\sigma(k)} j_k} \underbrace{|\downarrow \downarrow \dots \downarrow\rangle}_{j_1-1} \underbrace{|\downarrow \downarrow \dots \downarrow\rangle}_{j_2-j_1-1} |\uparrow \downarrow \dots\rangle$$

C'est un vecteur propre si

- $\mathcal{A}_\sigma \propto (-1)^\sigma \prod_{j < k} \left( 1 + e^{i(p_{\sigma(j)} + p_{\sigma(k)})} - 2e^{ip_{\sigma(k)}} \right)$

## Équations de Bethe

- $\forall j, e^{iL p_j} = \prod_{k \neq j} S(p_j, p_k)$  où  $S(p, p') \equiv -\frac{1+e^{i(p+p')}-2e^{ip}}{1+e^{i(p+p')}-2e^{ip'}}$

Valeur propre :  $E = -2L + 4 \sum_k (1 - \cos p_k)$

Completude : existence d'une base de vecteurs propres sous cette forme

Vecteurs propres de  $H$ 

pour la chaîne XXX

États à  $n$  "excitations"

$$|\Psi\rangle = \sum_{1 \leq j_1 < j_2 < \dots < j_n} \sum_{\sigma \in \mathfrak{S}_n} \mathcal{A}_\sigma e^{i \sum_k p_{\sigma(k)} j_k} \underbrace{|\downarrow\downarrow \dots \downarrow\rangle}_{j_1-1} \underbrace{|\downarrow\downarrow \dots \downarrow\rangle}_{j_2-j_1-1} \uparrow \downarrow \dots$$

C'est un vecteur propre si

- $\mathcal{A}_\sigma \propto (-1)^\sigma \prod_{j < k} \left( 1 + e^{i(p_{\sigma(j)} + p_{\sigma(k)})} - 2e^{ip_{\sigma(k)}} \right)$

## Équations de Bethe

- $\forall j, e^{iLp_j} = \prod_{k \neq j} S(p_j, p_k)$  où  $S(p, p') \equiv -\frac{1+e^{i(p+p')}-2e^{ip}}{1+e^{i(p+p')}-2e^{ip'}}$

Valeur propre :  $E = -2L + 4 \sum_k (1 - \cos p_k)$

Completude : existence d'une base de vecteurs propres sous cette forme

Vecteurs propres de  $H$ 

pour la chaîne XXX

États à  $n$  "excitations"

$$|\Psi\rangle = \sum_{1 \leq j_1 < j_2 < \dots < j_n} \sum_{\sigma \in \mathfrak{S}_n} \mathcal{A}_\sigma e^{i \sum_k p_{\sigma(k)} j_k} \underbrace{|\downarrow\downarrow \dots \downarrow\rangle}_{j_1-1} \underbrace{|\downarrow\downarrow \dots \downarrow\rangle}_{j_2-j_1-1} |\uparrow\downarrow \dots\rangle$$

C'est un vecteur propre si

- $\mathcal{A}_\sigma \propto (-1)^\sigma \prod_{j < k} \left( 1 + e^{i(p_{\sigma(j)} + p_{\sigma(k)})} - 2e^{ip_{\sigma(k)}} \right)$

## Équations de Bethe

- $\forall j, e^{iLp_j} = \prod_{k \neq j} S(p_j, p_k)$  où  $S(p, p') \equiv -\frac{1+e^{i(p+p')}-2e^{ip}}{1+e^{i(p+p')}-2e^{ip'}}$

Valeur propre :  $E = -2L + 4 \sum_k (1 - \cos p_k)$

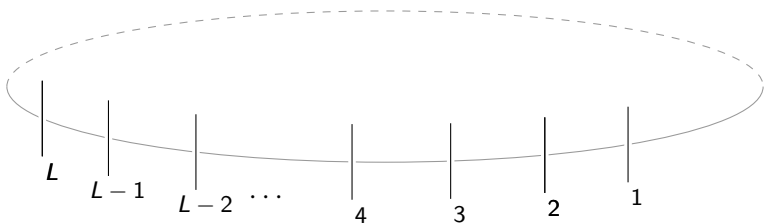
Completude : existence d'une base de vecteurs propres sous cette forme

Opérateurs  $T$  de la chaîne de Heisenberg

$$H = -2 \sum_i \mathcal{P}_{i,i+1} = -2 \frac{d}{du} \log T(u) \Big|_{u=0}$$

$$T(u) = \text{tr}_a \left( (u \mathbb{I} + \mathcal{P}_{L,a}) \cdot (u \mathbb{I} + \mathcal{P}_{L-1,a}) \cdots (u \mathbb{I} + \mathcal{P}_{1,a}) \right)$$

opérateur sur l'espace de Hilbert  $(\mathbb{C}^2)^{\otimes L}$



trace partielle :  $\langle y | \text{tr}_a M | x \rangle = \sum_{z \in \mathcal{B}_a} (\langle y | \otimes \langle z |) M (| x \rangle \otimes | z \rangle)$   
 où  $M \in \mathcal{L}(\mathcal{H}_p \otimes \mathcal{H}_a)$ ,  $\text{tr}_a(M) \in \mathcal{L}(\mathcal{H}_p)$ ,  $x, y \in \mathcal{H}_p$ ;  $\mathcal{B}_a$  : b.o.n. de  $\mathcal{H}_a$ .

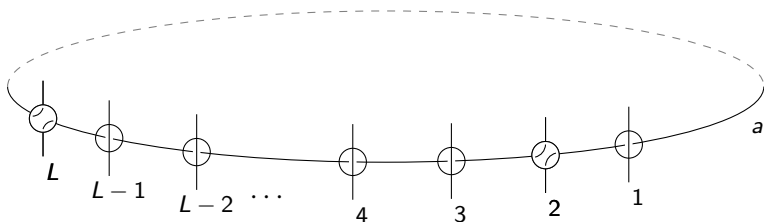
$$\begin{aligned} & ((u-v)\mathbb{I} + \mathcal{P}_{i,j})(u\mathbb{I} + \mathcal{P}_{i,k})(v\mathbb{I} + \mathcal{P}_{j,k}) \\ &= (v\mathbb{I} + \mathcal{P}_{j,k})(u\mathbb{I} + \mathcal{P}_{i,k})((u-v)\mathbb{I} + \mathcal{P}_{i,j}) \end{aligned}$$



Opérateurs  $T$  de la chaîne de Heisenberg

$$H = -2 \sum_i \mathcal{P}_{i,i+1} = -2 \frac{d}{du} \log T(u) \Big|_{u=0}$$

$$T(u) = \text{tr}_a \left( (u \mathbb{I} + \mathcal{P}_{L,a}) \cdot (u \mathbb{I} + \mathcal{P}_{L-1,a}) \cdots (u \mathbb{I} + \mathcal{P}_{1,a}) \right)$$

opérateurs sur l'espace de Hilbert  $(\mathbb{C}^2)^{\otimes L}$ 

trace partielle :  $\langle y | \text{tr}_a M | x \rangle = \sum_{z \in \mathcal{B}_a} (\langle y | \otimes \langle z |) M (| x \rangle \otimes | z \rangle)$   
 où  $M \in \mathcal{L}(\mathcal{H}_p \otimes \mathcal{H}_a)$ ,  $\text{tr}_a(M) \in \mathcal{L}(\mathcal{H}_p)$ ,  $x, y \in \mathcal{H}_p$ ;  $\mathcal{B}_a$  : b.o.n. de  $\mathcal{H}_a$ .

$$\begin{aligned} & ((u - v) \mathbb{I} + \mathcal{P}_{i,j})(u \mathbb{I} + \mathcal{P}_{i,k})(v \mathbb{I} + \mathcal{P}_{j,k}) \\ &= (v \mathbb{I} + \mathcal{P}_{j,k})(u \mathbb{I} + \mathcal{P}_{i,k})((u - v) \mathbb{I} + \mathcal{P}_{i,j}) \end{aligned}$$

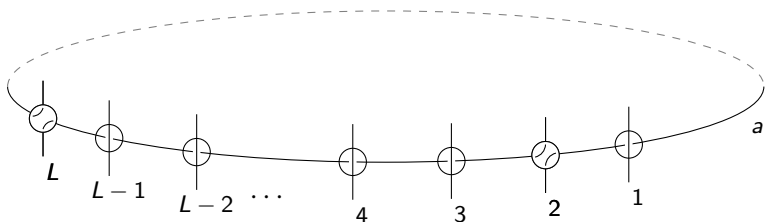


Opérateurs  $T$  de la chaîne de Heisenberg

$$H = -2 \sum_i \mathcal{P}_{i,i+1} = -2 \frac{d}{du} \log T(u) \Big|_{u=0}$$

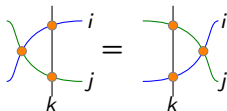
$$T(u) = \text{tr}_a \left( (u \mathbb{I} + \mathcal{P}_{L,a}) \cdot (u \mathbb{I} + \mathcal{P}_{L-1,a}) \cdots (u \mathbb{I} + \mathcal{P}_{1,a}) \right)$$

opérateurs sur l'espace de Hilbert  $(\mathbb{C}^2)^{\otimes L}$



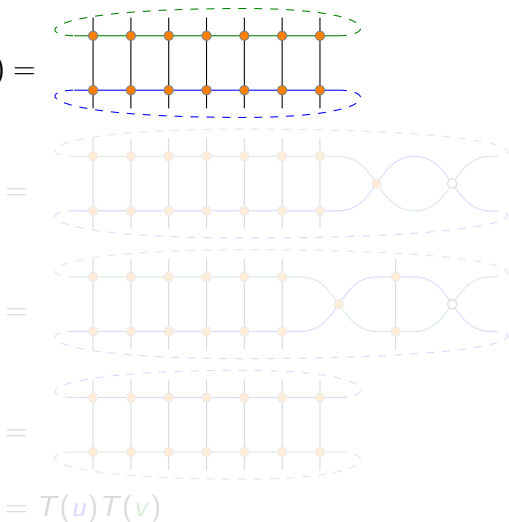
trace partielle :  $\langle y | \text{tr}_a M | x \rangle = \sum_{z \in \mathcal{B}_a} (\langle y | \otimes \langle z |) M (| x \rangle \otimes | z \rangle)$   
 où  $M \in \mathcal{L}(\mathcal{H}_p \otimes \mathcal{H}_a)$ ,  $\text{tr}_a(M) \in \mathcal{L}(\mathcal{H}_p)$ ,  $x, y \in \mathcal{H}_p$ ;  $\mathcal{B}_a$  : b.o.n. de  $\mathcal{H}_a$ .

$$\begin{aligned} \bullet & ((u - v) \mathbb{I} + \mathcal{P}_{i,j})(u \mathbb{I} + \mathcal{P}_{i,k})(v \mathbb{I} + \mathcal{P}_{j,k}) \\ &= (v \mathbb{I} + \mathcal{P}_{j,k})(u \mathbb{I} + \mathcal{P}_{i,k})((u - v) \mathbb{I} + \mathcal{P}_{i,j}) \end{aligned}$$

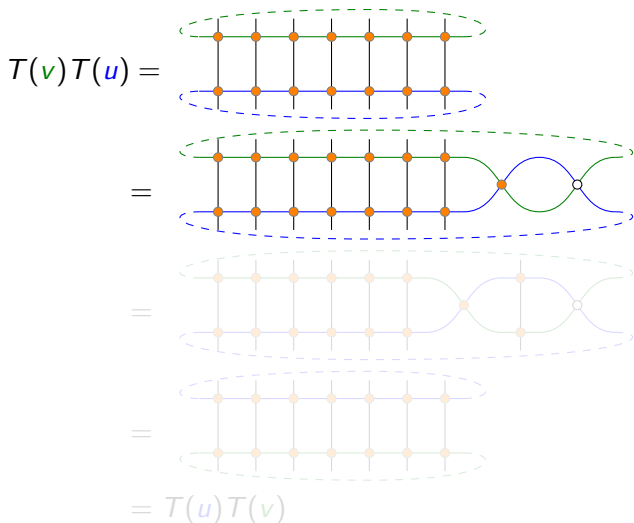


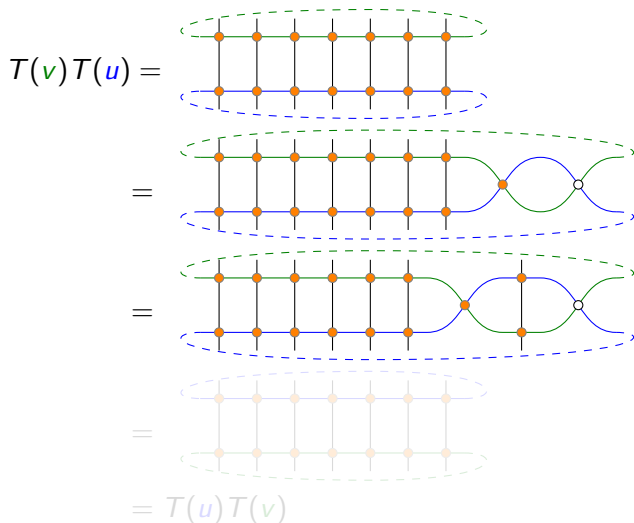
# Commutation des operators $T$

$$T(v)T(u) =$$

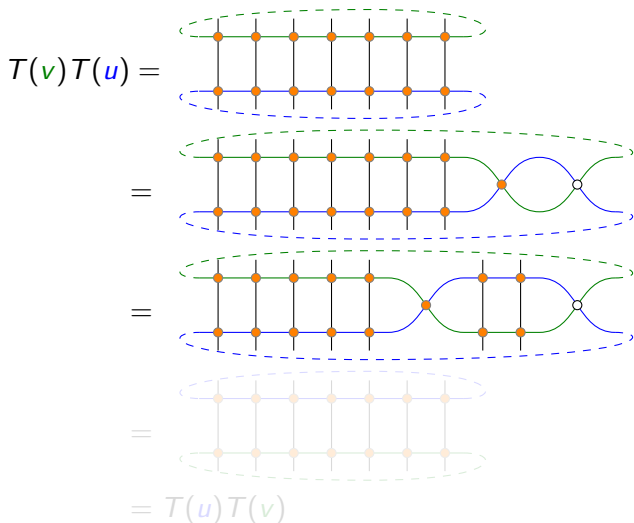


# Commutation des operators $T$



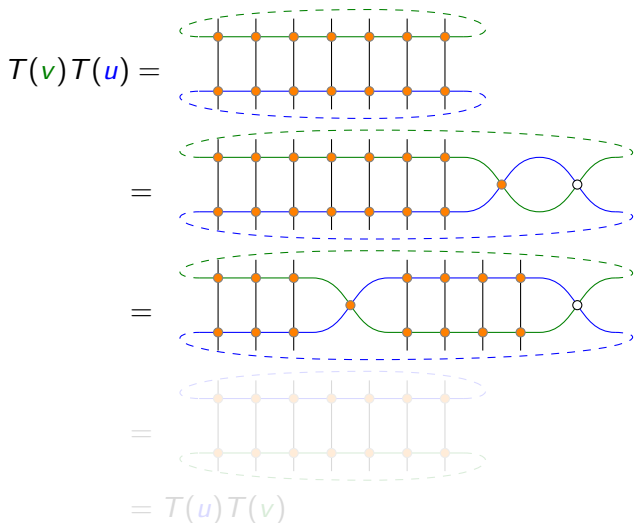
Commutation des operators  $T$ 

# Commutation des operators $T$

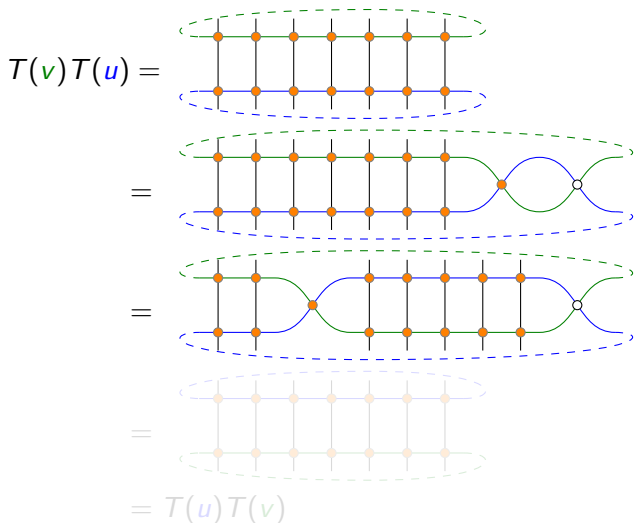




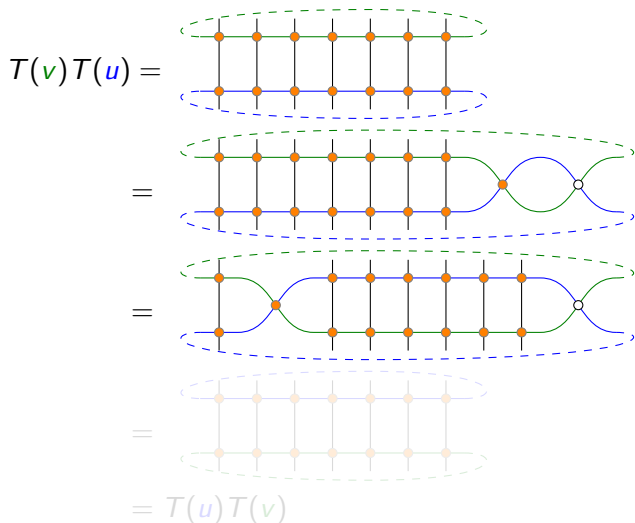
# Commutation des operators $T$

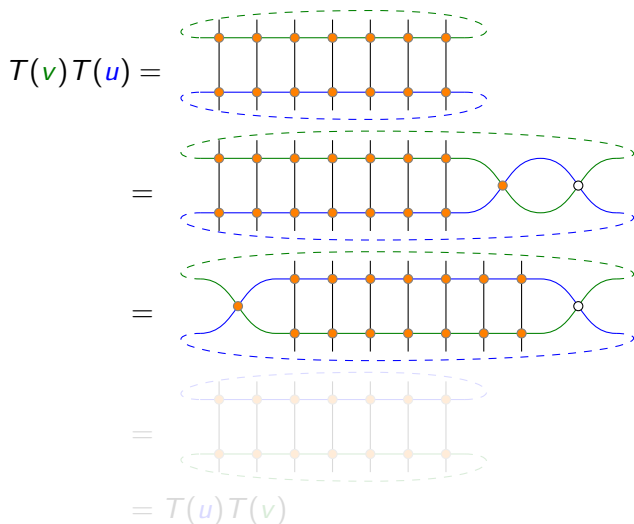


# Commutation des operators $T$



# Commutation des operators $T$



Commutation des operators  $T$ 

Commutation des operators  $T$ 

$$\begin{aligned}
 T(v)T(u) &= \text{Diagram 1} \\
 &= \text{Diagram 2} \\
 &= \text{Diagram 3} \\
 &= \text{Diagram 4} \\
 &= T(u)T(v)
 \end{aligned}$$

Commutation des operators  $T$ 

$$\begin{aligned}
 T(v)T(u) &= \text{Diagram 1} \\
 &= \text{Diagram 2} \\
 &= \text{Diagram 3} \\
 &= \text{Diagram 4} \\
 &= T(u)T(v)
 \end{aligned}$$

The diagram illustrates the commutation of two transfer matrices,  $T(u)$  and  $T(v)$ , using the Yang-Baxter equation. The proof is shown in five stages:

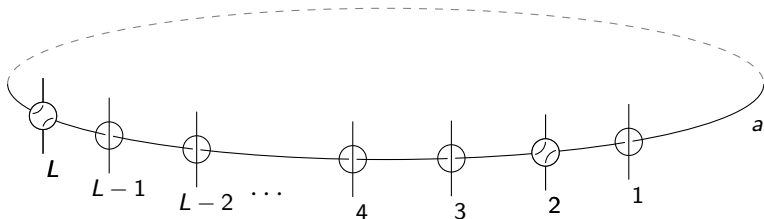
- Diagram 1:** The product  $T(v)T(u)$  is represented as two horizontal rows of six orange dots. The top row is enclosed in a green dashed oval, and the bottom row is enclosed in a blue dashed oval. Vertical lines connect the dots in each row.
- Diagram 2:** The two rows are shifted to the right. A blue arc connects the rightmost dot of the top row to the rightmost dot of the bottom row. A green arc connects the rightmost dot of the bottom row to the rightmost dot of the top row. A white dot is at the intersection of these two arcs.
- Diagram 3:** The two rows are shifted to the left. A blue arc connects the leftmost dot of the top row to the leftmost dot of the bottom row. A green arc connects the leftmost dot of the bottom row to the leftmost dot of the top row. A white dot is at the intersection of these two arcs.
- Diagram 4:** The two rows are shifted back to their original positions, but the top row is now enclosed in a blue dashed oval and the bottom row in a green dashed oval.
- Diagram 5:** The final result is  $T(u)T(v)$ , with the top row in a green dashed oval and the bottom row in a blue dashed oval.

Opérateurs  $T$  de la chaîne de Heisenberg

$$H = -2 \sum_i \mathcal{P}_{i,i+1} = -2 \frac{d}{du} \log T(u) \Big|_{u=0}$$

$$T(u) = \text{tr}_a \left( (u \mathbb{I} + \mathcal{P}_{L,a}) \cdot (u \mathbb{I} + \mathcal{P}_{L-1,a}) \cdots (u \mathbb{I} + \mathcal{P}_{1,a}) \right)$$

opérateurs sur l'espace de Hilbert  $(\mathbb{C}^2)^{\otimes L}$



trace partielle :  $\langle y | \text{tr}_a M | x \rangle = \sum_{z \in \mathcal{B}_a} (\langle y | \otimes \langle z |) M (| x \rangle \otimes | z \rangle)$   
 où  $M \in \mathcal{L}(\mathcal{H}_p \otimes \mathcal{H}_a)$ ,  $\text{tr}_a(M) \in \mathcal{L}(\mathcal{H}_p)$ ,  $x, y \in \mathcal{H}_p$ ;  $\mathcal{B}_a$  : b.o.n. de  $\mathcal{H}_a$ .

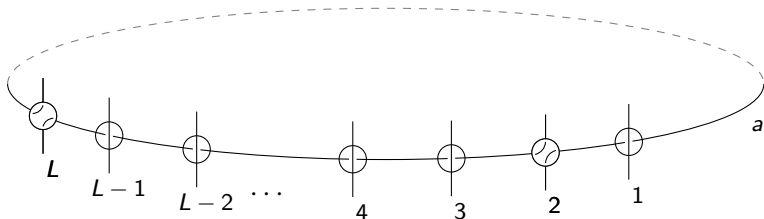
- $[T(u), T(v)] = 0$

Opérateurs  $T$  généralisant la chaîne de Heisenberg

$$H = -2 \sum_i \mathcal{P}_{i,i+1} = -2 \frac{d}{du} \log T(u) \Big|_{u=0}$$

$$T(u) = \text{tr}_a \left( (u \mathbb{I} + \mathcal{P}_{L,a}) \cdot (u \mathbb{I} + \mathcal{P}_{L-1,a}) \cdots (u \mathbb{I} + \mathcal{P}_{1,a}) \right)$$

opérateurs sur l'espace de Hilbert  $(\mathbb{C}^K)^{\otimes L}$



trace partielle :  $\langle y | \text{tr}_a M | x \rangle = \sum_{z \in \mathcal{B}_a} (\langle y | \otimes \langle z |) M (| x \rangle \otimes | z \rangle)$   
 où  $M \in \mathcal{L}(\mathcal{H}_p \otimes \mathcal{H}_a)$ ,  $\text{tr}_a(M) \in \mathcal{L}(\mathcal{H}_p)$ ,  $x, y \in \mathcal{H}_p$ ;  $\mathcal{B}_a$  : b.o.n. de  $\mathcal{H}_a$ .

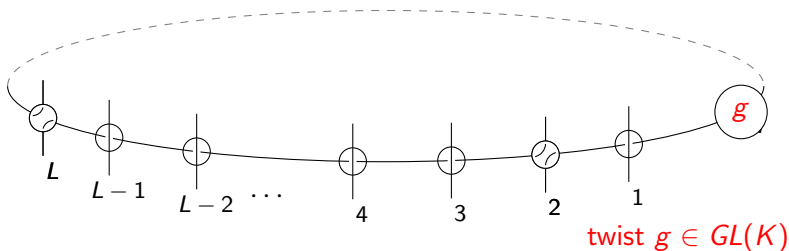
- $[T(u), T(v)] = 0$

Opérateurs  $T$  généralisant la chaîne de Heisenberg

$$H = \ll -2 \sum_i \mathcal{P}_{i,i+1} \gg = -2 \frac{d}{du} \log T(u) \Big|_{u=0}$$

$$T(u) = \text{tr}_a \left( (u \mathbb{I} + \mathcal{P}_{L,a}) \cdot (u \mathbb{I} + \mathcal{P}_{L-1,a}) \cdots (u \mathbb{I} + \mathcal{P}_{1,a}) \cdot g \right)$$

opérateurs sur l'espace de Hilbert  $(\mathbb{C}^K)^{\otimes L}$



trace partielle :  $\langle y | \text{tr}_a M | x \rangle = \sum_{z \in \mathcal{B}_a} (\langle y | \otimes \langle z |) M (| x \rangle \otimes | z \rangle)$   
 où  $M \in \mathcal{L}(\mathcal{H}_p \otimes \mathcal{H}_a)$ ,  $\text{tr}_a(M) \in \mathcal{L}(\mathcal{H}_p)$ ,  $x, y \in \mathcal{H}_p$ ;  $\mathcal{B}_a$  : b.o.n. de  $\mathcal{H}_a$ .

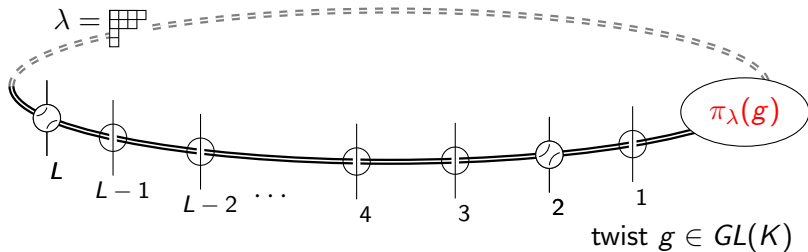
- $[T(u), T(v)] = 0$

Opérateurs  $T$  généralisant la chaîne de Heisenberg

$$H = \ll -2 \sum_i \mathcal{P}_{i,i+1} \gg = -2 \frac{d}{du} \log T^{\square}(u) \Big|_{u=0}$$

$$T^{\lambda}(u) = \text{tr}_a \left( (u \mathbb{I} + \mathcal{P}_{L,a}) \cdot (u \mathbb{I} + \mathcal{P}_{L-1,a}) \cdots (u \mathbb{I} + \mathcal{P}_{1,a}) \cdot \pi_{\lambda}(g) \right)$$

opérateurs sur l'espace de Hilbert  $(\mathbb{C}^K)^{\otimes L}$



Opérateur de permutation généralisé :  $\mathcal{P}_{i,j} = \sum_{\alpha,\beta} e_{\alpha,\beta}^{(i)} \otimes \pi_{\lambda}(e_{\beta,\alpha}^{(j)})$

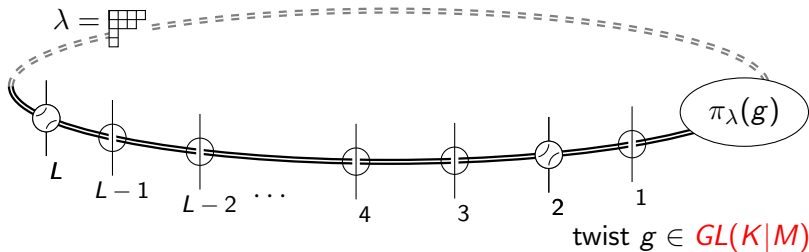
- $[T^{\lambda}(u), T^{\mu}(v)] = 0$

Opérateurs  $T$  généralisant la chaîne de Heisenberg

$$H = \ll -2 \sum_j \mathcal{P}_{i,i+1} \gg = -2 \frac{d}{du} \log T^\square(u) \Big|_{u=0}$$

$$T^\lambda(u) = \text{tr}_a \left( (u \mathbb{I} + \mathcal{P}_{L,a}) \cdot (u \mathbb{I} + \mathcal{P}_{L-1,a}) \cdots (u \mathbb{I} + \mathcal{P}_{1,a}) \cdot \pi_\lambda(g) \right)$$

opérateurs sur l'espace de Hilbert  $(\mathbb{C}^{K|M})^{\otimes L}$



Opérateur de permutation généralisé :  $\mathcal{P}_{i,j} = \sum_{\alpha,\beta} e_{\alpha,\beta}^{(i)} \otimes \pi_\lambda(e_{\beta,\alpha}^{(j)})$

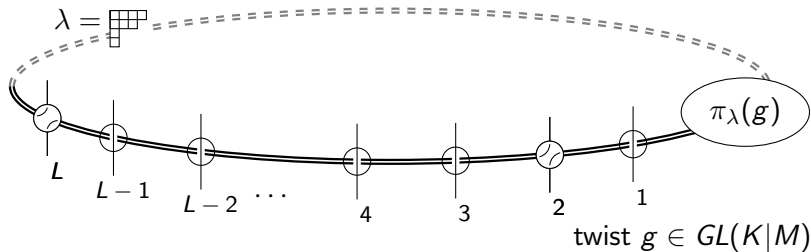
- $[T^\lambda(u), T^\mu(v)] = 0$

Opérateurs  $T$  généralisant la chaîne de Heisenberg

$$H = \langle -2 \sum_j \mathcal{P}_{i,j+1} \rangle = -2 \frac{d}{du} \log T^\square(u) \Big|_{u=0}$$

$$T^\lambda(u) = \text{tr}_a \left( ((u - \xi_L) \mathbb{I} + \mathcal{P}_{L,a}) \cdots ((u - \xi_1) \mathbb{I} + \mathcal{P}_{1,a}) \cdot \pi_\lambda(g) \right)$$

opérateurs sur l'espace de Hilbert  $(\mathbb{C}^{K|M})^{\otimes L}$



Opérateur de permutation généralisé :  $\mathcal{P}_{i,j} = \sum_{\alpha,\beta} e_{\alpha,\beta}^{(i)} \otimes \pi_\lambda(e_{\beta,\alpha}^{(j)})$

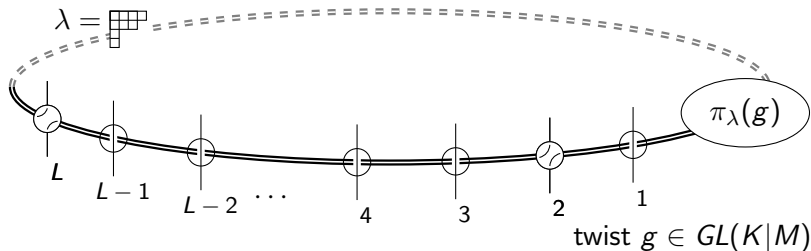
- $[T^\lambda(u), T^\mu(v)] = 0$

Opérateurs  $T$  généralisant la chaîne de Heisenberg

$$H = \ll -2 \sum_i \mathcal{P}_{i,i+1} \gg = -2 \frac{d}{du} \log T^\square(u) \Big|_{u=0}$$

$$T^\lambda(u) = \text{tr}_a \left( ((u - \xi_L) \mathbb{I} + \mathcal{P}_{L,a}) \cdots ((u - \xi_1) \mathbb{I} + \mathcal{P}_{1,a}) \cdot \pi_\lambda(g) \right)$$

opérateurs sur l'espace de Hilbert  $(\mathbb{C}^{K|M})^{\otimes L}$



- $[T^\lambda(u), T^\mu(v)] = 0$
- représentation de dimension infinie  $\rightsquigarrow$  Opérateurs  $Q$ .  
 $[Q_{12\dots}(u), Q_{13\dots}(v)] = 0$        $[Q_{12\dots}(u), T^\lambda(v)] = 0$

# Propriétés des opérateurs $T$ et $Q$

- Commutent entre eux, et avec le hamiltonien
- Dépendance polynomiale en  $u$

## Relations fonctionnelles

$$\bullet Q_{123} = \frac{\begin{vmatrix} Q_1(u) & Q_2(u) & Q_3(u) \\ Q_1(u-1)/x_1 & Q_2(u-1)/x_2 & Q_3(u-1)/x_3 \\ Q_1(u-2)/x_1^2 & Q_2(u-2)/x_2^2 & Q_3(u-2)/x_3^2 \end{vmatrix}}{\begin{vmatrix} 1 & 1 & 1 \\ 1/x_1 & 1/x_2 & 1/x_3 \\ 1/x_1^2 & 1/x_2^2 & 1/x_3^2 \end{vmatrix}} \quad \text{for twist } g = \text{diag}(x_1, x_2, \dots)$$

$$\bullet T^{\boxplus}(u) = \frac{\begin{vmatrix} Q_1(u+2)x_1^2 & Q_2(u+2)x_2^2 & Q_3(u+2)x_3^2 & \dots \\ Q_1(u) & Q_2(u) & Q_3(u) & \dots \\ Q_1(u-2)/x_1^2 & Q_2(u-2)/x_2^2 & Q_3(u-2)/x_3^2 & \dots \\ \vdots & \vdots & \vdots & \ddots \end{vmatrix}}{\begin{vmatrix} 1 & 1 & 1 \\ 1/x_1 & 1/x_2 & 1/x_3 \\ 1/x_1^2 & 1/x_2^2 & 1/x_3^2 \end{vmatrix}}$$

- Une base d'états propres simultanée de tous ces opérateurs
- États propres caractérisés par les valeurs propres de ces opérateurs (polynômes en  $u$ )
- Équations de Bethe  $\Leftrightarrow$  existence de polynômes satisfaisant ces relations fonctionnelles (avec  $u = \frac{e^{iP}}{1 - e^{iP}}$ )

Propriétés des opérateurs  $T$  et  $Q$ 

- Commutent entre eux, et avec le hamiltonien
- Dépendance polynomiale en  $u$

## Relations fonctionnelles

$$\bullet Q_{123} = \left| \begin{array}{ccc} Q_1(u) & Q_2(u) & Q_3(u) \\ Q_1(u-1)/x_1 & Q_2(u-1)/x_2 & Q_3(u-1)/x_3 \\ Q_1(u-2)/x_1^2 & Q_2(u-2)/x_2^2 & Q_3(u-2)/x_3^2 \end{array} \right| \Bigg/ \left| \begin{array}{ccc} 1 & 1 & 1 \\ 1/x_1 & 1/x_2 & 1/x_3 \\ 1/x_1^2 & 1/x_2^2 & 1/x_3^2 \end{array} \right|$$

for twist  $g = \text{diag}(x_1, x_2, \dots)$

$$\bullet T^{\boxplus}(u) = \left| \begin{array}{cccc} Q_1(u+2)x_1^2 & Q_2(u+2)x_2^2 & Q_3(u+2)x_3^2 & \dots \\ Q_1(u) & Q_2(u) & Q_3(u) & \dots \\ Q_1(u-2)/x_1^2 & Q_2(u-2)/x_2^2 & Q_3(u-2)/x_3^2 & \dots \\ \vdots & \vdots & \vdots & \ddots \end{array} \right| \Bigg/ \left| \begin{array}{ccc} 1 & 1 & 1 \\ 1/x_1 & 1/x_2 & 1/x_3 \\ 1/x_1^2 & 1/x_2^2 & 1/x_3^2 \end{array} \right|$$

- Une base d'états propres simultanée de tous ces opérateurs
- États propres caractérisés par les valeurs propres de ces opérateurs (polynômes en  $u$ )
- Équations de Bethe  $\Leftrightarrow$  existence de polynômes satisfaisant ces relations fonctionnelles (avec  $u = \frac{e^{iP}}{1-e^{iP}}$ )

Propriétés des opérateurs  $T$  et  $Q$ 

- Commutent entre eux, et avec le hamiltonien
- Dépendance polynomiale en  $u$

## Relations fonctionnelles

$$\bullet Q_{123} = \left| \begin{array}{ccc} Q_1(u) & Q_2(u) & Q_3(u) \\ Q_1(u-1)/x_1 & Q_2(u-1)/x_2 & Q_3(u-1)/x_3 \\ Q_1(u-2)/x_1^2 & Q_2(u-2)/x_2^2 & Q_3(u-2)/x_3^2 \end{array} \right| \Bigg/ \left| \begin{array}{ccc} 1 & 1 & 1 \\ 1/x_1 & 1/x_2 & 1/x_3 \\ 1/x_1^2 & 1/x_2^2 & 1/x_3^2 \end{array} \right|$$

for twist  $g = \text{diag}(x_1, x_2, \dots)$

$$\bullet T^{\boxplus}(u) = \left| \begin{array}{cccc} Q_1(u+2)x_1^2 & Q_2(u+2)x_2^2 & Q_3(u+2)x_3^2 & \dots \\ Q_1(u) & Q_2(u) & Q_3(u) & \dots \\ Q_1(u-2)/x_1^2 & Q_2(u-2)/x_2^2 & Q_3(u-2)/x_3^2 & \dots \\ \vdots & \vdots & \vdots & \ddots \end{array} \right| \Bigg/ \left| \begin{array}{ccc} 1 & 1 & 1 \\ 1/x_1 & 1/x_2 & 1/x_3 \\ 1/x_1^2 & 1/x_2^2 & 1/x_3^2 \end{array} \right|$$

- Une base d'états propres simultanée de tous ces opérateurs
- États propres caractérisés par les valeurs propres de ces opérateurs (polynômes en  $u$ )
- Équations de Bethe  $\Leftrightarrow$  existence de polynômes satisfaisant ces relations fonctionnelles (avec  $u = \frac{e^{iP}}{1-e^{iP}}$ )

# Propriétés des opérateurs $T$ et $Q$

- Commutent entre eux, et avec le hamiltonien
- Dépendance polynomiale en  $u$

## Relations fonctionnelles

$$\bullet Q_{123} = \left| \begin{array}{ccc} Q_1(u) & Q_2(u) & Q_3(u) \\ Q_1(u-1)/x_1 & Q_2(u-1)/x_2 & Q_3(u-1)/x_3 \\ Q_1(u-2)/x_1^2 & Q_2(u-2)/x_2^2 & Q_3(u-2)/x_3^2 \end{array} \right| \Bigg/ \left| \begin{array}{ccc} 1 & 1 & 1 \\ 1/x_1 & 1/x_2 & 1/x_3 \\ 1/x_1^2 & 1/x_2^2 & 1/x_3^2 \end{array} \right|$$

for twist  $g = \text{diag}(x_1, x_2, \dots)$

$$\bullet T^{\boxplus}(u) = \left| \begin{array}{cccc} Q_1(u+2)x_1^2 & Q_2(u+2)x_2^2 & Q_3(u+2)x_3^2 & \dots \\ Q_1(u) & Q_2(u) & Q_3(u) & \dots \\ Q_1(u-2)/x_1^2 & Q_2(u-2)/x_2^2 & Q_3(u-2)/x_3^2 & \dots \\ \vdots & \vdots & \vdots & \ddots \end{array} \right| \Bigg/ \left| \begin{array}{ccc} 1 & 1 & 1 \\ 1/x_1 & 1/x_2 & 1/x_3 \\ 1/x_1^2 & 1/x_2^2 & 1/x_3^2 \end{array} \right|$$

- Une base d'états propres simultanée de tous ces opérateurs
  - États propres caractérisés par les valeurs propres de ces opérateurs (polynômes en  $u$ )
  - Équations de Bethe  $\Leftrightarrow$  existence de polynômes satisfaisant ces relations fonctionnelles
- (avec  $u = \frac{e^{iP}}{1 - e^{iP}}$ )

# Propriétés des opérateurs $T$ et $Q$

- Commutent entre eux, et avec le hamiltonien
- Dépendance polynomiale en  $u$

## Relations fonctionnelles

$$\bullet Q_{123} = \left| \begin{array}{ccc} Q_1(u) & Q_2(u) & Q_3(u) \\ Q_1(u-1)/x_1 & Q_2(u-1)/x_2 & Q_3(u-1)/x_3 \\ Q_1(u-2)/x_1^2 & Q_2(u-2)/x_2^2 & Q_3(u-2)/x_3^2 \end{array} \right| \Bigg/ \left| \begin{array}{ccc} 1 & 1 & 1 \\ 1/x_1 & 1/x_2 & 1/x_3 \\ 1/x_1^2 & 1/x_2^2 & 1/x_3^2 \end{array} \right|$$

for twist  $g = \text{diag}(x_1, x_2, \dots)$

$$\bullet T^{\boxplus}(u) = \left| \begin{array}{cccc} Q_1(u+2)x_1^2 & Q_2(u+2)x_2^2 & Q_3(u+2)x_3^2 & \dots \\ Q_1(u) & Q_2(u) & Q_3(u) & \dots \\ Q_1(u-2)/x_1^2 & Q_2(u-2)/x_2^2 & Q_3(u-2)/x_3^2 & \dots \\ \vdots & \vdots & \vdots & \ddots \end{array} \right| \Bigg/ \left| \begin{array}{ccc} 1 & 1 & 1 \\ 1/x_1 & 1/x_2 & 1/x_3 \\ 1/x_1^2 & 1/x_2^2 & 1/x_3^2 \end{array} \right|$$

- Une base d'états propres simultanée de tous ces opérateurs
- États propres caractérisés par les valeurs propres de ces opérateurs (polynômes en  $u$ )
- Équations de Bethe  $\Leftrightarrow$  existence de polynômes satisfaisant ces relations fonctionnelles (avec  $u = \frac{e^{iP}}{1-e^{iP}}$ )

# Propriétés des opérateurs $T$ et $Q$

- Commutent entre eux, et avec le hamiltonien
- Dépendance polynomiale en  $u$

## Relations fonctionnelles

$$\bullet Q_{123} = \left| \begin{array}{ccc} Q_1(u) & Q_2(u) & Q_3(u) \\ Q_1(u-1)/x_1 & Q_2(u-1)/x_2 & Q_3(u-1)/x_3 \\ Q_1(u-2)/x_1^2 & Q_2(u-2)/x_2^2 & Q_3(u-2)/x_3^2 \end{array} \right| \Bigg/ \left| \begin{array}{ccc} 1 & 1 & 1 \\ 1/x_1 & 1/x_2 & 1/x_3 \\ 1/x_1^2 & 1/x_2^2 & 1/x_3^2 \end{array} \right|$$

for twist  $g = \text{diag}(x_1, x_2, \dots)$

$$\bullet T^{\boxplus}(u) = \left| \begin{array}{cccc} Q_1(u+2)x_1^2 & Q_2(u+2)x_2^2 & Q_3(u+2)x_3^2 & \dots \\ Q_1(u) & Q_2(u) & Q_3(u) & \dots \\ Q_1(u-2)/x_1^2 & Q_2(u-2)/x_2^2 & Q_3(u-2)/x_3^2 & \dots \\ \vdots & \vdots & \vdots & \ddots \end{array} \right| \Bigg/ \left| \begin{array}{ccc} 1 & 1 & 1 \\ 1/x_1 & 1/x_2 & 1/x_3 \\ 1/x_1^2 & 1/x_2^2 & 1/x_3^2 \end{array} \right|$$

- Une base d'états propres simultanée de tous ces opérateurs
- États propres caractérisés par les valeurs propres de ces opérateurs (polynômes en  $u$ )
- Équations de Bethe  $\Leftrightarrow$  existence de polynômes satisfaisant ces relations fonctionnelles  
(avec  $u = \frac{e^{iP}}{1-e^{iP}}$ )

# Propriétés des opérateurs $T$ et $Q$

- Commutent entre eux, et avec le hamiltonien
- Dépendance polynomiale en  $u$

## Relations fonctionnelles

$$\bullet Q_{123} = \begin{vmatrix} Q_1(u) & Q_2(u) & Q_3(u) \\ Q_1(u-1)/x_1 & Q_2(u-1)/x_2 & Q_3(u-1)/x_3 \\ Q_1(u-2)/x_1^2 & Q_2(u-2)/x_2^2 & Q_3(u-2)/x_3^2 \end{vmatrix} \Bigg/ \begin{vmatrix} 1 & 1 & 1 \\ 1/x_1 & 1/x_2 & 1/x_3 \\ 1/x_1^2 & 1/x_2^2 & 1/x_3^2 \end{vmatrix}$$

for twist  $g = \text{diag}(x_1, x_2, \dots)$

$$\bullet T^{\boxplus}(u) = \begin{vmatrix} Q_1(u+2)x_1^2 & Q_2(u+2)x_2^2 & Q_3(u+2)x_3^2 & \dots \\ Q_1(u) & Q_2(u) & Q_3(u) & \dots \\ Q_1(u-2)/x_1^2 & Q_2(u-2)/x_2^2 & Q_3(u-2)/x_3^2 & \dots \\ \vdots & \vdots & \vdots & \ddots \end{vmatrix} \Bigg/ \begin{vmatrix} 1 & 1 & 1 \\ 1/x_1 & 1/x_2 & 1/x_3 \\ 1/x_1^2 & 1/x_2^2 & 1/x_3^2 \end{vmatrix}$$

- Une base d'états propres simultanée de tous ces opérateurs
- États propres caractérisés par les valeurs propres de ces opérateurs (polynômes en  $u$ )
- Équations de Bethe  $\Leftarrow$  existence de polynômes satisfaisant ces relations fonctionnelles  
(avec  $u = \frac{e^{iP}}{1-e^{iP}}$ )

# Comptage des solutions polynomiales de ces équations fonctionnelles

- Exemple du cas périodique (twist  $g = 1$ ).
- Des polynômes  $Q_{a,s}$  tels que

$$Q_{a+1,s+1}Q_{a,s} \propto \begin{vmatrix} Q_{a+1,s}(u) & Q_{a,s+1}(u) \\ Q_{a+1,s}(u-1) & Q_{a,s+1}(u-1) \end{vmatrix}$$

- Limite où  $1 \ll \xi_1 \ll \xi_2 \ll \dots \ll \xi_L$
- Solutions indexées par des tableaux de Young standards :

↪ comptage des solutions

1	2	4	7	10
3	6	8	13	
5	9	11		
12	15	16		
14				

$$Q_{0,3} = (u - \underbrace{u_1^{(0,3)}}_{\propto \xi_7})(u - \underbrace{u_2^{(0,3)}}_{\propto \xi_{10}})(u - \underbrace{u_3^{(0,3)}}_{\propto \xi_{13}})$$

$$Q_{2,1} = (u - \underbrace{u_1^{(2,1)}}_{\propto \xi_9})(u - \underbrace{u_2^{(2,1)}}_{\propto \xi_{11}})(u - \underbrace{u_3^{(2,1)}}_{\propto \xi_{15}})(u - \underbrace{u_4^{(2,1)}}_{\propto \xi_{16}})$$

↪ complétude

# Comptage et caractérisation des solutions polynomiales de ces équations fonctionnelles

- Exemple du cas périodique (twist  $g = 1$ ).
- Des polynômes  $Q_{a,s}$  tels que

$$Q_{a+1,s+1}Q_{a,s} \propto \begin{vmatrix} Q_{a+1,s}(u) & Q_{a,s+1}(u) \\ Q_{a+1,s}(u-1) & Q_{a,s+1}(u-1) \end{vmatrix}$$

- Limite où  $1 \ll \xi_1 \ll \xi_2 \ll \dots \ll \xi_L$
- Solutions indexées par des tableaux de Young standards :

↪ comptage des solutions

1	2	4	7	10
3	6	8	13	
5	9	11		
12	15	16		
14				

$$Q_{0,3} = (u - \underbrace{u_1^{(0,3)}}_{\propto \xi_7})(u - \underbrace{u_2^{(0,3)}}_{\propto \xi_{10}})(u - \underbrace{u_3^{(0,3)}}_{\propto \xi_{13}})$$

$$Q_{2,1} = (u - \underbrace{u_1^{(2,1)}}_{\propto \xi_9})(u - \underbrace{u_2^{(2,1)}}_{\propto \xi_{11}})(u - \underbrace{u_3^{(2,1)}}_{\propto \xi_{15}})(u - \underbrace{u_4^{(2,1)}}_{\propto \xi_{16}})$$

↪ complétude

## Comptage et caractérisation des solutions polynomiales de ces équations fonctionnelles

- Exemple du cas périodique (twist  $g = 1$ ).

- Des polynômes  $Q_{a,s}$  tels que

$$Q_{a+1,s+1}Q_{a,s} \propto \begin{vmatrix} Q_{a+1,s}(u) & Q_{a,s+1}(u) \\ Q_{a+1,s}(u-1) & Q_{a,s+1}(u-1) \end{vmatrix}$$

- Limite où  $1 \ll \xi_1 \ll \xi_2 \ll \dots \ll \xi_L$
- Solutions indexées par des tableaux de Young standards :

↪ comptage des solutions

1	2	4	7	10
3	6	8	13	
5	9	11		
12	15	16		
14				

$$Q_{0,3} = (u - \underbrace{u_1^{(0,3)}}_{\propto \xi_7})(u - \underbrace{u_2^{(0,3)}}_{\propto \xi_{10}})(u - \underbrace{u_3^{(0,3)}}_{\propto \xi_{13}})$$

$$Q_{2,1} = (u - \underbrace{u_1^{(2,1)}}_{\propto \xi_9})(u - \underbrace{u_2^{(2,1)}}_{\propto \xi_{11}})(u - \underbrace{u_3^{(2,1)}}_{\propto \xi_{15}})(u - \underbrace{u_4^{(2,1)}}_{\propto \xi_{16}})$$

↪ complétude

## Comptage et caractérisation des solutions polynomiales de ces équations fonctionnelles

- Exemple du cas périodique (twist  $g = 1$ ).

- Des polynômes  $Q_{a,s}$  tels que

$$Q_{a+1,s+1}Q_{a,s} \propto \begin{vmatrix} Q_{a+1,s}(u) & Q_{a,s+1}(u) \\ Q_{a+1,s}(u-1) & Q_{a,s+1}(u-1) \end{vmatrix}$$

- Limite où  $1 \ll \xi_1 \ll \xi_2 \ll \dots \ll \xi_L$
- Solutions indexées par des tableaux de Young standards :

↪ comptage des solutions

1	2	4	7	10
3	6	8	13	
5	9	11		
12	15	16		
14				

$$Q_{0,3} = (u - \underbrace{u_1^{(0,3)}}_{\propto \xi_7})(u - \underbrace{u_2^{(0,3)}}_{\propto \xi_{10}})(u - \underbrace{u_3^{(0,3)}}_{\propto \xi_{13}})$$

$$Q_{2,1} = (u - \underbrace{u_1^{(2,1)}}_{\propto \xi_9})(u - \underbrace{u_2^{(2,1)}}_{\propto \xi_{11}})(u - \underbrace{u_3^{(2,1)}}_{\propto \xi_{15}})(u - \underbrace{u_4^{(2,1)}}_{\propto \xi_{16}})$$

↪ complétude

## Comptage et caractérisation des solutions polynomiales de ces équations fonctionnelles

- Exemple du cas périodique (twist  $g = 1$ ).

- Des polynômes  $Q_{a,s}$  tels que

$$Q_{a+1,s+1}Q_{a,s} \propto \begin{vmatrix} Q_{a+1,s}(u) & Q_{a,s+1}(u) \\ Q_{a+1,s}(u-1) & Q_{a,s+1}(u-1) \end{vmatrix}$$

- Limite où  $1 \ll \xi_1 \ll \xi_2 \ll \dots \ll \xi_L$

- Solutions indexées par des tableaux de Young standards :

↪ comptage des solutions

1	2	4	7	10
3	6	8	13	
5	9	11		
12	15	16		
14				

$$Q_{0,3} = (u - \underbrace{u_1^{(0,3)}}_{\propto \xi_7})(u - \underbrace{u_2^{(0,3)}}_{\propto \xi_{10}})(u - \underbrace{u_3^{(0,3)}}_{\propto \xi_{13}})$$

$$Q_{2,1} = (u - \underbrace{u_1^{(2,1)}}_{\propto \xi_9})(u - \underbrace{u_2^{(2,1)}}_{\propto \xi_{11}})(u - \underbrace{u_3^{(2,1)}}_{\propto \xi_{15}})(u - \underbrace{u_4^{(2,1)}}_{\propto \xi_{16}})$$

↪ complétude

## Comptage et caractérisation des solutions polynomiales de ces équations fonctionnelles

- Exemple du cas périodique (twist  $g = 1$ ).

- Des polynômes  $Q_{a,s}$  tels que

$$Q_{a+1,s+1}Q_{a,s} \propto \begin{vmatrix} Q_{a+1,s}(u) & Q_{a,s+1}(u) \\ Q_{a+1,s}(u-1) & Q_{a,s+1}(u-1) \end{vmatrix}$$

- Limite où  $1 \ll \xi_1 \ll \xi_2 \ll \dots \ll \xi_L$
- Solutions indexées par des tableaux de Young standards :

↪ comptage des solutions

1	2	4	7	10
3	6	8	13	
5	9	11		
12	15	16		
14				

$$Q_{0,3} = (u - \underbrace{u_1^{(0,3)}}_{\propto \xi_7})(u - \underbrace{u_2^{(0,3)}}_{\propto \xi_{10}})(u - \underbrace{u_3^{(0,3)}}_{\propto \xi_{13}})$$

$$Q_{2,1} = (u - \underbrace{u_1^{(2,1)}}_{\propto \xi_9})(u - \underbrace{u_2^{(2,1)}}_{\propto \xi_{11}})(u - \underbrace{u_3^{(2,1)}}_{\propto \xi_{15}})(u - \underbrace{u_4^{(2,1)}}_{\propto \xi_{16}})$$

↪ complétude

## Comptage et caractérisation des solutions polynomiales de ces équations fonctionnelles

- Exemple du cas périodique (twist  $g = 1$ ).

- Des polynômes  $Q_{a,s}$  tels que

$$Q_{a+1,s+1}Q_{a,s} \propto \begin{vmatrix} Q_{a+1,s}(u) & Q_{a,s+1}(u) \\ Q_{a+1,s}(u-1) & Q_{a,s+1}(u-1) \end{vmatrix}$$

- Limite où  $1 \ll \xi_1 \ll \xi_2 \ll \dots \ll \xi_L$
- Solutions indexées par des tableaux de Young standards :

↪ comptage des solutions

1	2	4	7	10
3	6	8	13	
5	9	11		
12	15	16		
14				

$$Q_{0,3} = (u - \underbrace{u_1^{(0,3)}}_{\propto \xi_7})(u - \underbrace{u_2^{(0,3)}}_{\propto \xi_{10}})(u - \underbrace{u_3^{(0,3)}}_{\propto \xi_{13}})$$

$$Q_{2,1} = (u - \underbrace{u_1^{(2,1)}}_{\propto \xi_9})(u - \underbrace{u_2^{(2,1)}}_{\propto \xi_{11}})(u - \underbrace{u_3^{(2,1)}}_{\propto \xi_{15}})(u - \underbrace{u_4^{(2,1)}}_{\propto \xi_{16}})$$

↪ complétude

## Comptage et caractérisation des solutions polynomiales de ces équations fonctionnelles

- Exemple du cas périodique (twist  $g = 1$ ).

- Des polynômes  $Q_{a,s}$  tels que

$$Q_{a+1,s+1}Q_{a,s} \propto \begin{vmatrix} Q_{a+1,s}(u) & Q_{a,s+1}(u) \\ Q_{a+1,s}(u-1) & Q_{a,s+1}(u-1) \end{vmatrix}$$

- Limite où  $1 \ll \xi_1 \ll \xi_2 \ll \dots \ll \xi_L$

- Solutions indexées par des tableaux de Young standards :

↪ comptage des solutions

1	2	4	7	10
3	6	8	13	
5	9	11		
12	15	16		
14				

$$Q_{0,3} = (u - \underbrace{u_1^{(0,3)}}_{\propto \xi_7})(u - \underbrace{u_2^{(0,3)}}_{\propto \xi_{10}})(u - \underbrace{u_3^{(0,3)}}_{\propto \xi_{13}})$$

$$Q_{2,1} = (u - \underbrace{u_1^{(2,1)}}_{\propto \xi_9})(u - \underbrace{u_2^{(2,1)}}_{\propto \xi_{11}})(u - \underbrace{u_3^{(2,1)}}_{\propto \xi_{15}})(u - \underbrace{u_4^{(2,1)}}_{\propto \xi_{16}})$$

↪ complétude

# Outline

- 1 Systèmes quantiques
  - Ondes ↔ particules
  - Équation de Schrödinger
  - Chaîne de Spins
- 2 Intégrabilité des chaînes de spins XXX
  - “Coordinate Bethe Ansatz”
  - “Wronskian Bethe Ansatz”
  - Completeness
- 3 Perspectives
  - Intégrabilité
  - Équations fonctionnelles
  - Observables physiques

# Systèmes quantiques intégrables

**Systèmes intégrables** : Valeurs propres de  $H$  sont

$$E = E_0 + \sum_k e(p_k) \quad \text{où} \quad \forall j, e^{iLp_j} = \prod_{k \neq j} S(p_j, p_k)$$

où les fonctions  $e(p)$  et  $S(p, p')$  dépendent du modèle.

Propriété emblématique : Équation de Yang-Baxter



Conditions (en général) :

- espace unidimensionnel, périodique
- interactions à faible portée (comparé à la taille de l'espace)
- “beaucoup” de symétries
- “Thermodynamic Bethe Ansatz” : continuation analytique pour une petite période spatiale

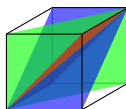
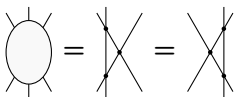
# Systèmes quantiques intégrables

**Systèmes intégrables** : Valeurs propres de  $H$  sont

$$E = E_0 + \sum_k e(p_k) \quad \text{où} \quad \forall j, e^{iL p_j} = \prod_{k \neq j} S(p_j, p_k)$$

où les fonctions  $e(p)$  et  $S(p, p')$  dépendent du modèle.

**Propriété emblématique** : Équation de Yang-Baxter



Conditions (en général) :

- espace unidimensionnel, périodique
- interactions à faible portée (comparé à la taille de l'espace)
- “beaucoup” de symétries
- “Thermodynamic Bethe Ansatz” : continuation analytique pour une petite période spatiale

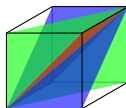
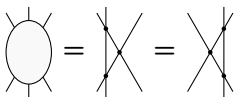
# Systèmes quantiques intégrables

**Systèmes intégrables** : Valeurs propres de  $H$  sont

$$E = E_0 + \sum_k e(p_k) \quad \text{où} \quad \forall j, e^{iL p_j} = \prod_{k \neq j} S(p_j, p_k)$$

où les fonctions  $e(p)$  et  $S(p, p')$  dépendent du modèle.

**Propriété emblématique** : Équation de Yang-Baxter



**Conditions** (en général) :

- espace unidimensionnel, périodique
- interactions à faible portée (comparé à la taille de l'espace)
- “beaucoup” de symétries
- “Thermodynamic Bethe Ansatz” : continuation analytique pour une petite période spatiale

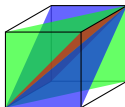
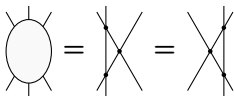
# Systèmes quantiques intégrables

**Systèmes intégrables** : Valeurs propres de  $H$  sont

$$E = E_0 + \sum_k e(p_k) \quad \text{où} \quad \forall j, e^{iLp_j} = \prod_{k \neq j} S(p_j, p_k)$$

où les fonctions  $e(p)$  et  $S(p, p')$  dépendent du modèle.

**Propriété emblématique** : Équation de Yang-Baxter



**Conditions** (en général) :

- espace unidimensionnel, périodique
- interactions à faible portée (comparé à la taille de l'espace)
- “beaucoup” de symétries
- “Thermodynamic Bethe Ansatz” : continuation analytique pour une petite période spatiale

# Exemples d'autres modèles intégrables

Beaucoup de modèles où le spectre se déduit  
d'équations fonctionnelles et conditions d'analyticité :

- Théorie de super-Yang Mills avec  $\mathcal{N} = 4$  supersymétries :
  - mêmes equations fonctionnelle que précédemment
  - "polynomialité" remplacée holomorphicité sur  $\mathbb{C} \setminus \mathbb{R}$  et une coupure  $\subset \mathbb{R}$
- Chaîne de spins de symétrie  $SO$ 
  - polynomialité
  - equations fonctionnelles différentes de celles présentées ici
- ABJM, Fishnet (autres théories des champs)
  - fonctions non-polynomiales
  - equations fonctionnelles différentes de celles présentées ici

**bonus** : Les fonctions  $Q$  sur lesquelles portent ces équations apparaissent aussi dans le calcul d'autres observables physiques (fonctions de corrélation)

# Exemples d'autres modèles intégrables

Beaucoup de modèles où le spectre se déduit  
d'équations fonctionnelles et conditions d'analyticité :

- Théorie de super-Yang Mills avec  $\mathcal{N} = 4$  supersymétries :
  - mêmes equations fonctionnelle que précédemment
  - "polynomialité" remplacée holomorphicité sur  $\mathbb{C} \setminus \mathbb{R}$  et une coupure  $\subset \mathbb{R}$
- Chaîne de spins de symétrie  $SO$ 
  - polynomialité
  - equations fonctionnelles différentes de celles présentées ici
- ABJM, Fishnet (autres théories des champs)
  - fonctions non-polynomiales
  - equations fonctionnelles différentes de celles présentées ici

**bonus** : Les fonctions  $Q$  sur lesquelles portent ces équations apparaissent aussi dans le calcul d'autres observables physiques (fonctions de corrélation)

# Exemples d'autres modèles intégrables

Beaucoup de modèles où le spectre se déduit  
d'équations fonctionnelles et conditions d'analyticité :

- Théorie de super-Yang Mills avec  $\mathcal{N} = 4$  supersymétries :
  - mêmes equations fonctionnelle que précédemment
  - "polynomialité" remplacée holomorphie sur  $\mathbb{C} \setminus \mathbb{R}$  et une coupure  $\subset \mathbb{R}$
- Chaîne de spins de symétrie  $SO$ 
  - polynomialité
  - equations fonctionnelles différentes de celles présentées ici
- ABJM, Fishnet (autres théories des champs)
  - fonctions non-polynomiales
  - equations fonctionnelles différentes de celles présentées ici

**bonus** : Les fonctions  $Q$  sur lesquelles portent ces équations apparaissent aussi dans le calcul d'autres observables physiques (fonctions de corrélation)

# Exemples d'autres modèles intégrables

Beaucoup de modèles où le spectre se déduit  
d'équations fonctionnelles et conditions d'analyticité :

- Théorie de super-Yang Mills avec  $\mathcal{N} = 4$  supersymétries :
  - mêmes equations fonctionnelle que précédemment
  - "polynomialité" remplacée holomorphie sur  $\mathbb{C} \setminus \mathbb{R}$  et une coupure  $\subset \mathbb{R}$
- Chaîne de spins de symétrie  $SO$ 
  - polynomialité
  - equations fonctionnelles différentes de celles présentées ici
- ABJM, Fishnet (autres théories des champs)
  - fonctions non-polynomiales
  - equations fonctionnelles différentes de celles présentées ici

**bonus** : Les fonctions  $Q$  sur lesquelles portent ces équations apparaissent aussi dans le calcul d'autres observables physiques (fonctions de corrélation)

# Exemples d'autres modèles intégrables

Beaucoup de modèles où le spectre se déduit  
d'équations fonctionnelles et conditions d'analyticité :

- Théorie de super-Yang Mills avec  $\mathcal{N} = 4$  supersymétries :
  - mêmes equations fonctionnelle que précédemment
  - "polynomialité" remplacée holomorphie sur  $\mathbb{C} \setminus \mathbb{R}$  et une coupure  $\subset \mathbb{R}$
- Chaîne de spins de symétrie  $SO$ 
  - polynomialité
  - equations fonctionnelles différentes de celles présentées ici
- ABJM, Fishnet (autres théories des champs)
  - fonctions non-polynomiales
  - equations fonctionnelles différentes de celles présentées ici

**bonus** : Les fonctions  $Q$  sur lesquelles portent ces équations apparaissent aussi dans le calcul d'autres observables physiques (fonctions de corrélation)

# Exemples d'autres modèles intégrables

Beaucoup de modèles où le spectre se déduit  
d'équations fonctionnelles et conditions d'analyticité :

- Théorie de super-Yang Mills avec  $\mathcal{N} = 4$  supersymétries :
  - mêmes equations fonctionnelle que précédemment
  - "polynomialité" remplacée holomorphie sur  $\mathbb{C} \setminus \mathbb{R}$  et une coupure  $\subset \mathbb{R}$
- Chaîne de spins de symétrie  $SO$ 
  - polynomialité
  - equations fonctionnelles différentes de celles présentées ici
- ABJM, Fishnet (autres théories des champs)
  - fonctions non-polynomiales
  - equations fonctionnelles différentes de celles présentées ici

**bonus** : Les fonctions  $Q$  sur lesquelles portent ces équations apparaissent aussi dans le calcul d'autres observables physiques (fonctions de corrélation)

# Exemples d'autres modèles intégrables

Beaucoup de modèles où le spectre se déduit  
d'équations fonctionnelles et conditions d'analyticité :

- Théorie de super-Yang Mills avec  $\mathcal{N} = 4$  supersymétries :
  - mêmes equations fonctionnelle que précédemment
  - "polynomialité" remplacée holomorphie sur  $\mathbb{C} \setminus \mathbb{R}$  et une coupure  $\subset \mathbb{R}$
- Chaîne de spins de symétrie  $SO$ 
  - polynomialité
  - equations fonctionnelles différentes de celles présentées ici
- ABJM, Fishnet (autres théories des champs)
  - fonctions non-polynomiales
  - équations fonctionnelles différentes de celles présentées ici

**bonus** : Les fonctions  $Q$  sur lesquelles portent ces équations apparaissent aussi dans le calcul d'autres observables physiques (fonctions de corrélation)

# Exemples d'autres modèles intégrables

Beaucoup de modèles où le spectre se déduit  
d'équations fonctionnelles et conditions d'analyticité :

- Théorie de super-Yang Mills avec  $\mathcal{N} = 4$  supersymétries :
  - mêmes equations fonctionnelle que précédemment
  - "polynomialité" remplacée holomorphie sur  $\mathbb{C} \setminus \mathbb{R}$  et une coupure  $\subset \mathbb{R}$
- Chaîne de spins de symétrie  $SO$ 
  - polynomialité
  - equations fonctionnelles différentes de celles présentées ici
- ABJM, Fishnet (autres théories des champs)
  - fonctions non-polynomiales
  - équations fonctionnelles différentes de celles présentées ici

**bonus** : Les fonctions  $Q$  sur lesquelles portent ces équations apparaissent aussi dans le calcul d'autres observables physiques (fonctions de corrélation)

# Exemples d'autres modèles intégrables

Beaucoup de modèles où le spectre se déduit  
d'équations fonctionnelles et conditions d'analyticité :

- Théorie de super-Yang Mills avec  $\mathcal{N} = 4$  supersymétries :
  - mêmes equations fonctionnelle que précédemment
  - "polynomialité" remplacée holomorphicité sur  $\mathbb{C} \setminus \mathbb{R}$  et une coupure  $\subset \mathbb{R}$
- Chaîne de spins de symétrie  $SO$ 
  - polynomialité
  - equations fonctionnelles différentes de celles présentées ici
- ABJM, Fishnet (autres théories des champs)
  - fonctions non-polynomiales
  - équations fonctionnelles différentes de celles présentées ici

**bonus** : Les fonctions  $Q$  sur lesquelles portent ces équations apparaissent aussi dans le calcul d'autres observables physiques (fonctions de corrélation)